



第十二章 电磁感应

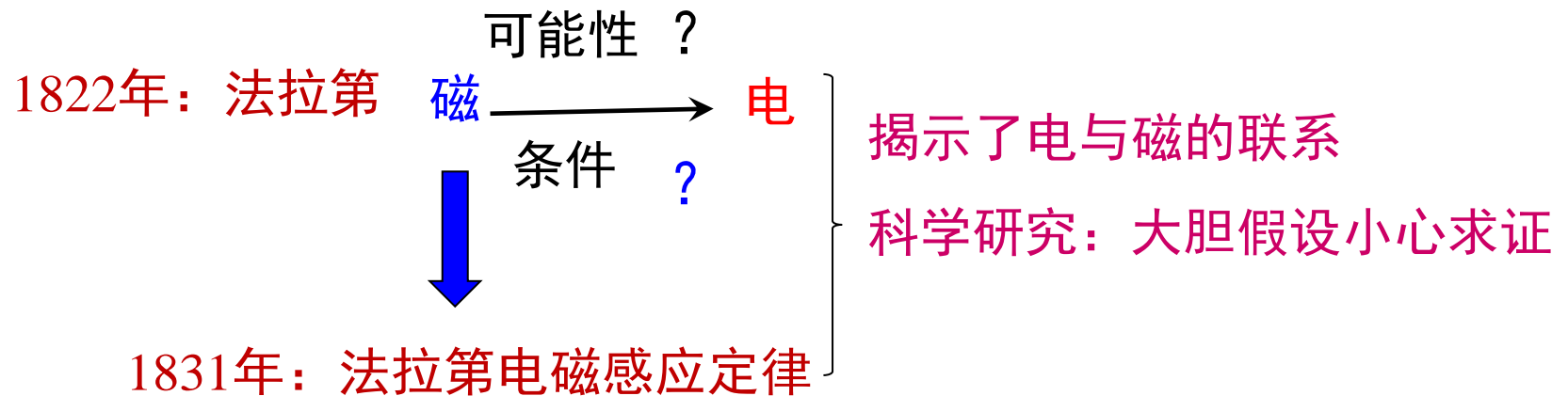
(electromagnetic induction)

华东理工大学物理系

作者: 葛自明



1820年：奥斯特实验 电流（运动电荷） \longrightarrow 磁



1865年麦克斯韦在前人研究基础上，提出电场和磁场是一个统一整体
即宏观的电磁场理论，电磁理论突出特点是研究与“场”有关的问题。

制造出电动机、发动机，促成第二次工业革命（需求推动，不唯应用）



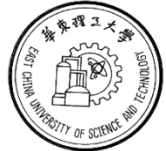
法拉第(Michael Faraday)1791-1867,
英国物理学家和化学家

法拉第以**精湛的实验和敏锐的观察力**，经十余年努力于**1831年**首次观察到电流变化时产生的**感应现象**，接着做了一系列的实验，以揭示感应现象的奥秘。

法拉第：创造性地提出了**场的思想**，**磁场**这一名称是法拉第最早引入的（创新：**唯物与唯心之别**）。他是**电磁理论的创始人之一**，后又相继发现**电解定律**，物质的**抗磁性和顺磁性**，以及光的**偏振面在磁场中的旋转**。

1845年诺埃曼给出**电磁感应定律的数学公式**。

物理模型（图像）；**数学模型（定量实验检验）**；**理论**；**指导实验**。

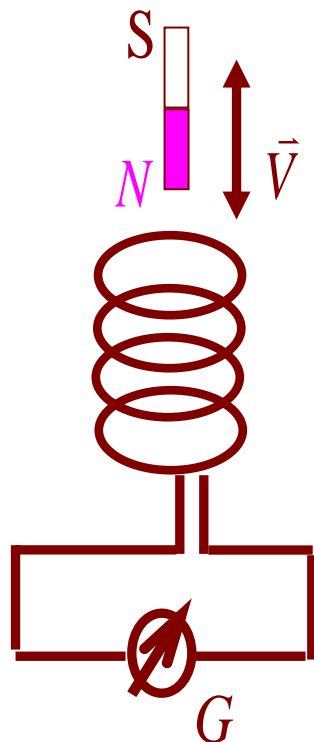


第十二章 电磁感应

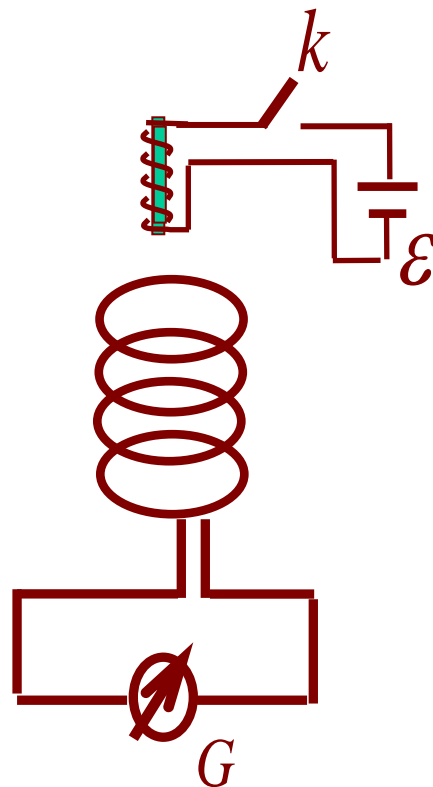
- § 12.1 法拉第电磁感应定律
- § 12.2 动生电动势和感生电动势
- § 12.3 互感和自感
- § 12.4 磁场的能量
- § 12.5 电磁场的理论基础、电磁波

§ 12.1 法拉第电磁感应定律

1. 电磁感应的基本实验现象

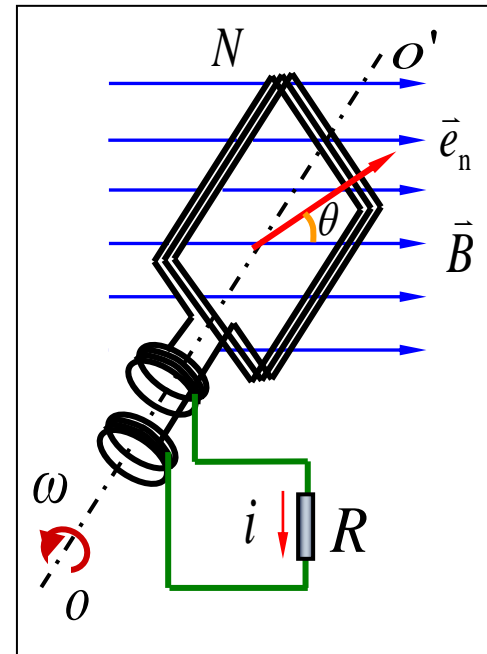
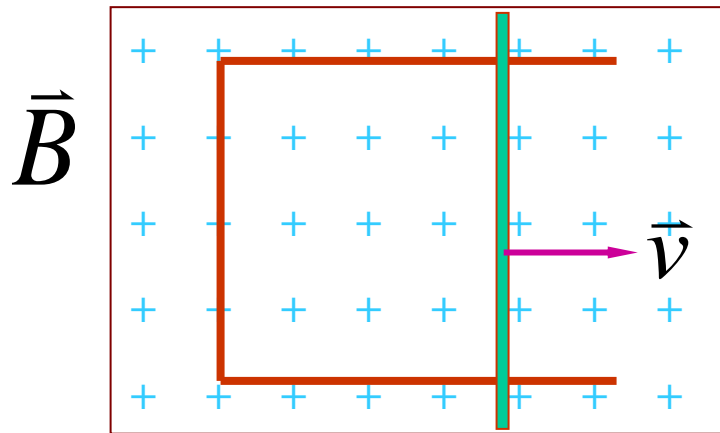


感应电流与N-S的
磁性、速度有关；



与有无磁介质、
电源极性有关。

现象：1) 有磁；2) 有导体；3) 有运动或变化。产生电！



实验表明：

匀强磁场中，穿过线圈所包围面积内的**磁通量发生变化**时，在回路中将产生电流，该电流称为**感应电流**，这种现象称为**电磁感应**。

有感应电流，即存在电动势，为什么（是什么力推动电荷）？

2. 法拉第电磁感应定律

——导体回路中的**感应电动势** ε 的大小与穿过导体**回路**的**磁通量**的**时间的变化率**成正比。

$$\varepsilon = - \frac{d\Phi}{dt}$$

单位: $1\text{V}=1\text{Wb/s}$

负号表示感应电动势总是**反抗**（阻碍）磁通的变化。

$$\Rightarrow \Phi_m = \int_S \vec{B} \cdot d\vec{S} = \int_S B \cdot dS \cos \alpha$$

结论: Φ_m 变化时回路中产生 I_i

B 变化

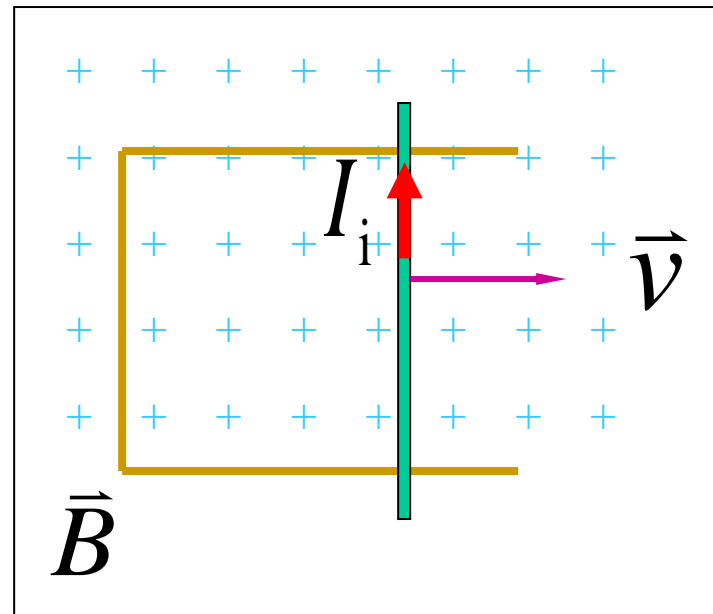
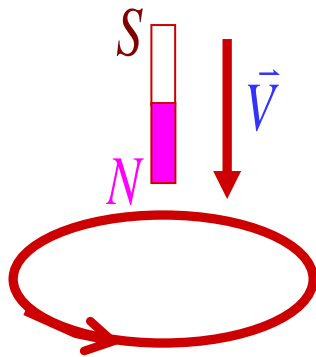
S 变化

α 变化

实验表明: 穿过线圈所包围面积内的磁通量发生变化时, 在回路中将产生的电流, 该电流称为感应电流, 这种现象称为电磁感应.

3. 楞次定律

—— 闭合的导线回路中所出现的感应电流的方向，总是使它自己所激发的磁场**反抗（阻碍）**任何引发电磁感应的原因。



楞次定律是能量守恒定律在电磁感应中的一种具体表现。

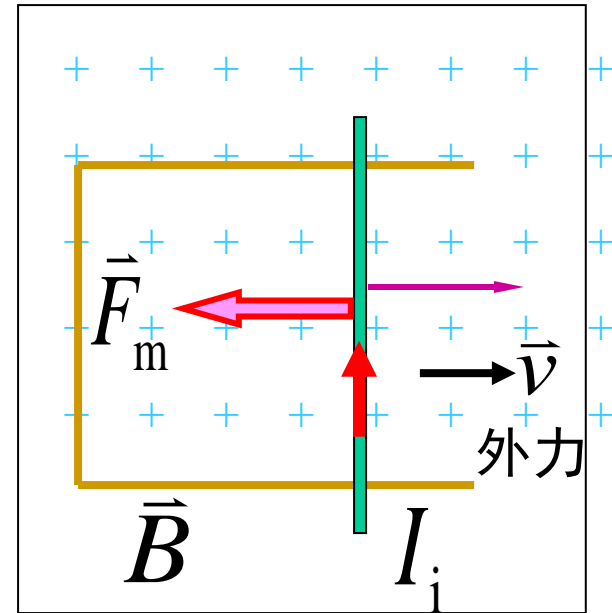
$$d\vec{F} = I d\vec{l} \times \vec{B}$$

⇒ 减速运动 ⇒ 静止

机械能



焦耳热



维持滑杆运动必须外加一力，此过程为外力克服安培力做功转化为焦耳热。

否则只需一点力开始使导线移动，将有无限大的电能出现，不符合能量守恒定律！

◆ 感应电动势的方向

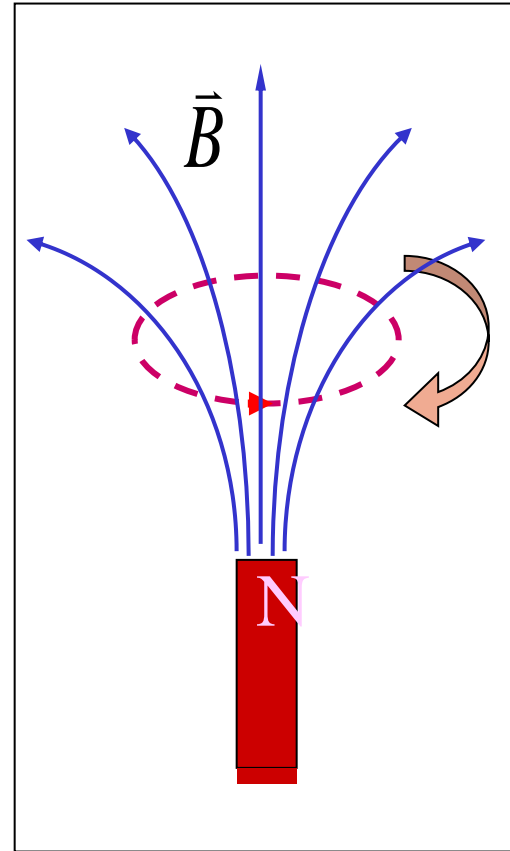
$$\mathcal{E}_i = - \frac{d\Phi}{dt}$$

\vec{B} 方向与回路（平面）成右螺旋。 $\Phi > 0$

$$d\Phi = \Phi(t + dt) - \Phi(t)$$

$$\frac{d\Phi}{dt} > 0 \quad \mathcal{E}_i < 0$$

\mathcal{E}_i 方向与回路的取向相反；



$$\mathcal{E}_i = \boxed{-} \frac{d\Phi}{dt}$$

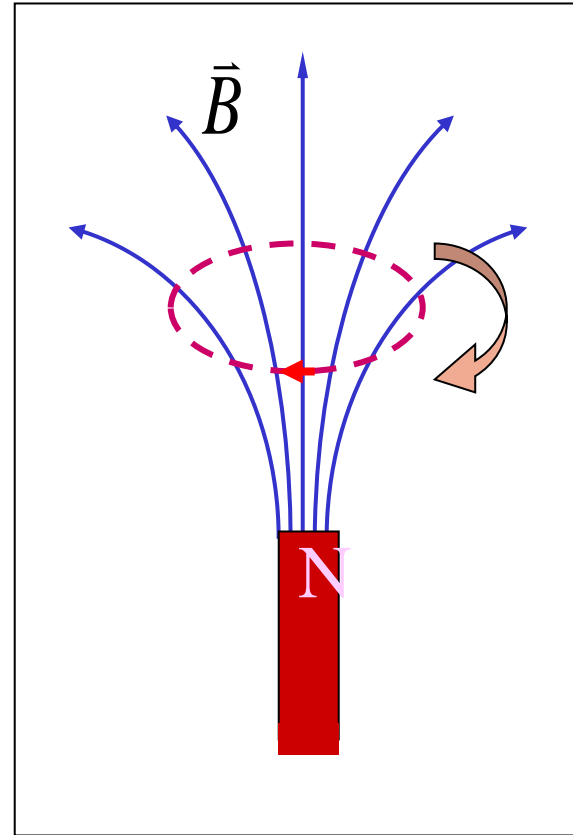
\vec{B} 方向与回路（平面）成左螺旋。

$$\Phi < 0$$

$$\boxed{d\Phi = \Phi(t + dt) - \Phi(t)}$$

$$\frac{d\Phi}{dt} < 0 \quad \mathcal{E}_i > 0$$

\mathcal{E}_i 方向与回路的取向相同。



当线圈有 N 匝时

$$\boxed{\mathcal{E}_i = -N \frac{d\Phi}{dt}}$$

在匀强磁场中，置有面积为 S 的可绕轴转动的 N 匝线圈，若线圈以匀角速度 ω 作匀速转动，求线圈中的感应电动势。

已知实验参数 B, S, N, ω 求 \mathcal{E}

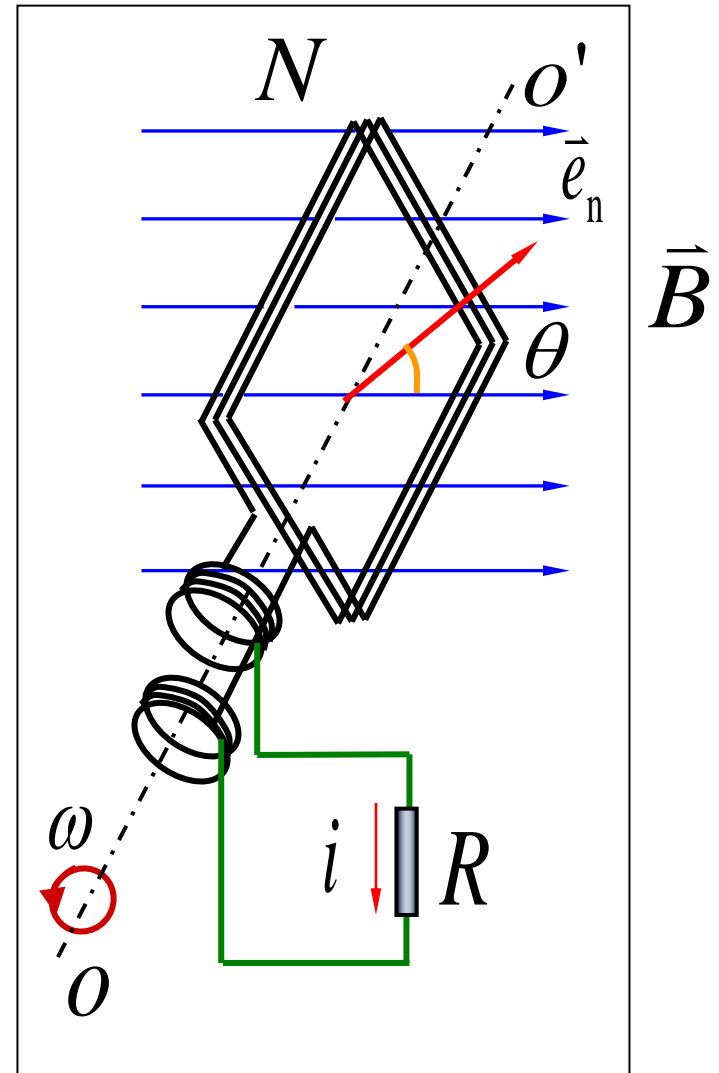
解 设 $t=0$ 时，

\vec{e}_n 与 \vec{B} 同向，则 $\theta = \omega t$

$$\psi = N\phi = NBS \cos \omega t$$

电动势的大小：

$$\mathcal{E} = \left| \frac{d\psi}{dt} \right| = NBS\omega \sin \omega t$$



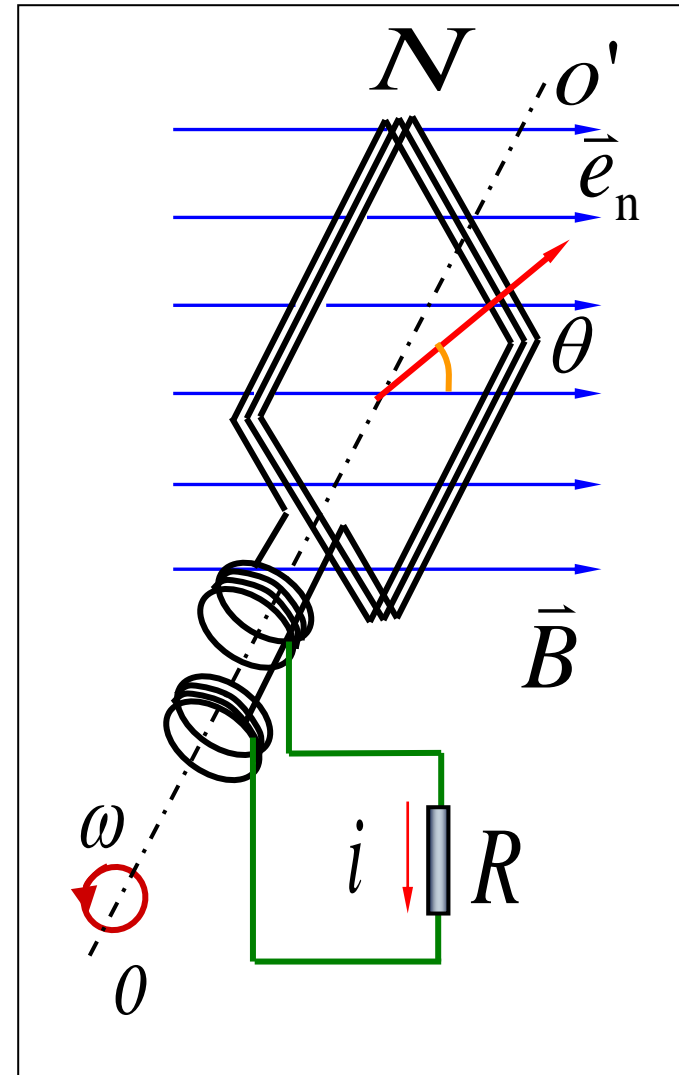
$$\text{令 } \varepsilon_m = NBS\omega$$

$$\text{则 } \varepsilon = \varepsilon_m \sin \omega t$$

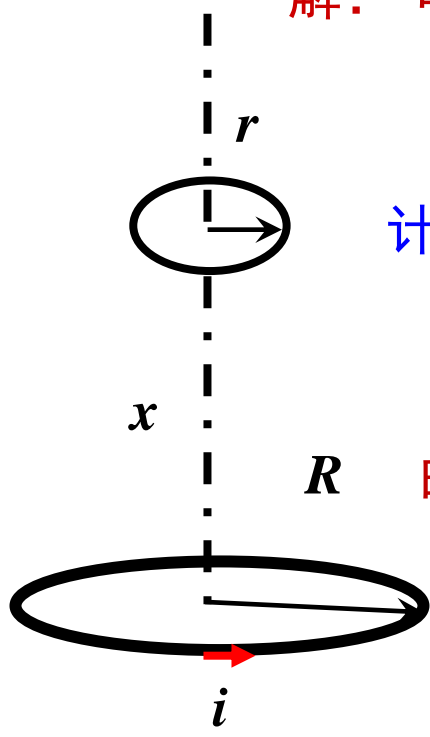
$$i = \frac{\varepsilon_m}{R} \sin \omega t = I_m \sin \omega t$$

$$I_m = \frac{\varepsilon_m}{R}$$

可见在**匀强磁场**中匀速转动的线圈内的感应电流是时间的**正弦函数**，这种电流称**交流电**。



【例 1】 如图，一水平静止放置的半径为 R 、流过电流 i 的大环中心上方落下一半径 r 的小环，小环平面是水平方向，在高度 $x = NR$ 处的速度为 v ，小环很小， $x \gg R$ ，求 NR 处小环中的感应电动势。



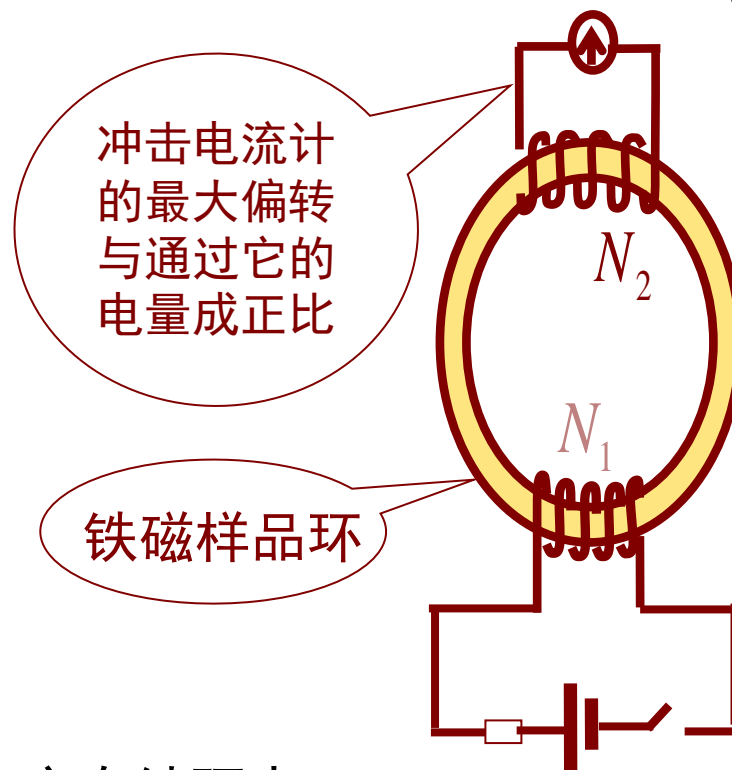
解：由圆环轴线上磁场公式：
$$B = \frac{\mu_0 i R^2}{2(x^2 + R^2)^{3/2}} \approx \frac{\mu_0 i R^2}{2x^3}$$

计算穿过小环的磁通量：
$$\phi = \vec{B} \cdot \vec{S} = \frac{\mu_0 i R^2}{2x^3} \pi r^2$$

由法拉第定律得到：
$$\varepsilon = \left| -\frac{d\phi}{dt} \right| = \frac{\mu_0 i R^2}{2} \pi r^2 \left| -\frac{d}{dx} \left(\frac{1}{x^3} \right) \frac{dx}{dt} \right|$$

$$\varepsilon = \left| -\frac{d\phi}{dt} \right|_{x=NR} = \frac{\mu_0 i \pi r^2 v}{2N^4 R^2}$$
 方向与大环电流 i 方向相反。

【例 2】如图，已知冲击电流计测得的电量 q ，线圈匝数 N_2 总电阻 R ，环截面积 S 较小，用感应电动势近似测到的铁环中的磁感应强度 B 多大。



解：当合上 N_1 线圈的开关，电流增大，它在铁环中的磁场增强，在 N_2 线圈中有感应电动势产生。

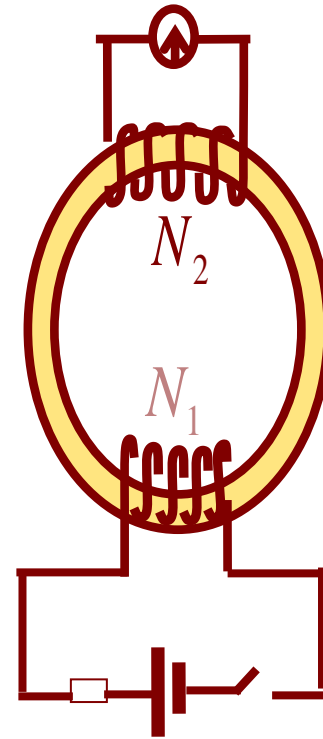
若 S 表示环的截面积 $\Phi = N_2 \phi = N_2 BS \Rightarrow |\varepsilon| = \left| -\frac{d\Phi}{dt} \right| = N_2 S \frac{dB}{dt}$

$$|\varepsilon| = \left| -\frac{d\Phi}{dt} \right| = N_2 S \frac{dB}{dt}$$

N_2 线圈的总电阻是 R ，产生的电流为：

$$i = \frac{\varepsilon}{R} = \frac{N_2 S}{R} \cdot \frac{dB}{dt} = \frac{dq}{dt}$$

$$q = \int_0^\tau i \cdot dt = \int_0^\tau \frac{N_2 S \cdot dB}{R \cdot dt} \cdot dt = \frac{N_2 S \cdot B}{R}$$

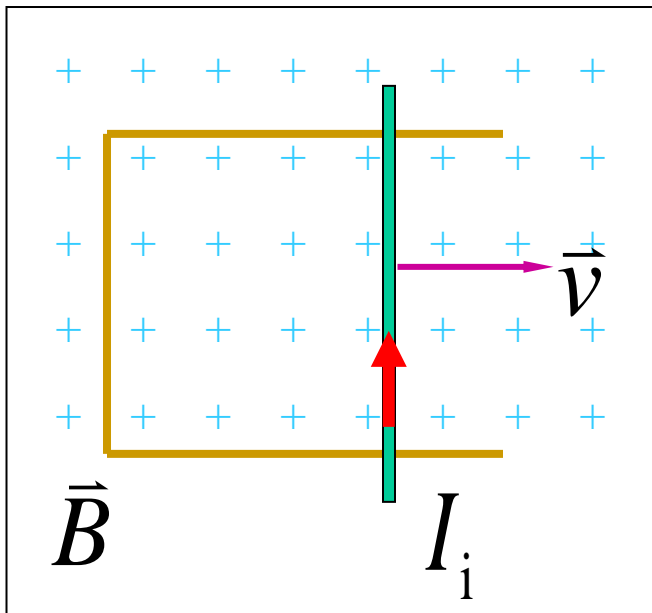


铁磁质中的磁感应强度 B

$$\therefore B = \frac{qR}{N_2 S}$$

§ 12.2 动生电动势和感生电动势

1. 引起磁通量变化原因的分类：

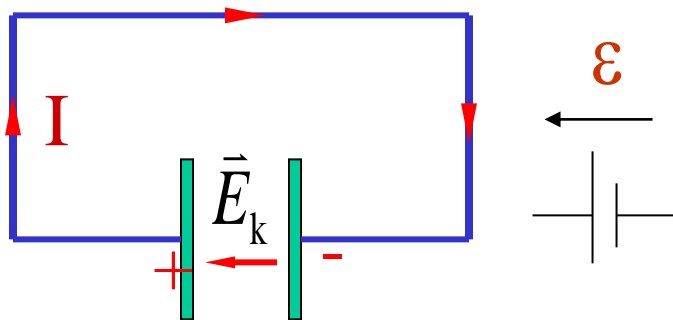


1) 稳恒磁场中的运动导体（回路面积变化、取向变化等） \Rightarrow 动生电动势

2) 导体不动，磁场变化 \Rightarrow 感生电动势

◆ 电动势 $\varepsilon = \oint_l \vec{E}_k \cdot d\vec{l} = \int_{\text{内}} \vec{E}_k \cdot d\vec{l}$

\vec{E}_k : 非静电的电场强度。



◆ 闭合电路的总电动势

$$\varepsilon = \oint_l \vec{E}_k \cdot d\vec{l}$$

2. 动生电动势

动生电动势的非静电力场 \Longrightarrow 洛伦兹力

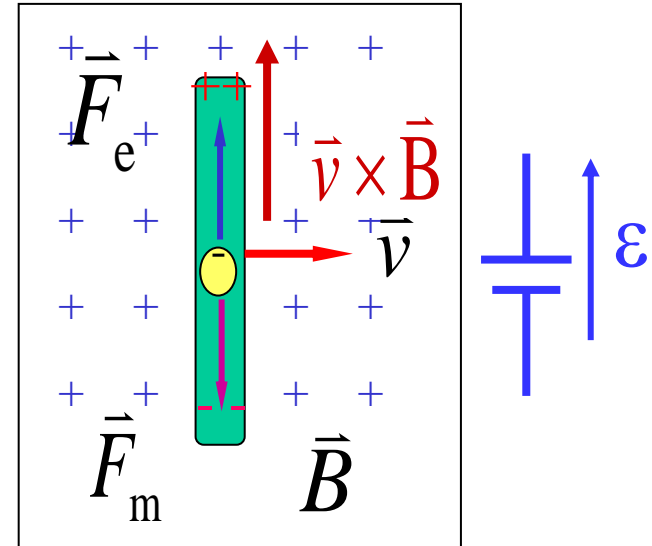
$\vec{F}_m + \vec{F}_e = 0$ 时，形成稳定的电势差；

$$\vec{F}_m = (-e)\vec{v} \times \vec{B}$$

非静电力场强

$$\vec{E}_k = \frac{\vec{F}_m}{-e} = \vec{v} \times \vec{B}$$

$$\varepsilon = \int_{-}^{+} \vec{E}_k \cdot d\vec{l} = \int_{-}^{+} (\vec{v} \times \vec{B}) \cdot d\vec{l}$$



判断 $\vec{v} \times \vec{B}$ 的方向以及二者之间角度 $\varphi = 90^\circ$ 的正弦 $\sin \varphi$;

$\vec{v} \times \vec{B}$ 后的方向与矢量 $d\vec{l}$ 点乘的二者之间角度 $\theta = 0^\circ$ 的余弦 $\cos \theta$;

设均匀磁场 B ，杆匀速 v 运动，长为 L

$$\varepsilon = \int_0^L vB dl = vBL$$



【例 3】一导线矩形框在水平面，与竖直方向匀强磁场 \vec{B} 垂直，在此矩形框上，有一质量为 m 长为 l 的可移动的细导体棒 MN ；矩形框还接有一个电阻 R ，其值较之导线的电阻值要大得很多，若开始时细导体棒以速度 \vec{v}_0 沿如图所示的矩形框运动（不计摩擦），试求棒的速率随时间变化的函数关系。

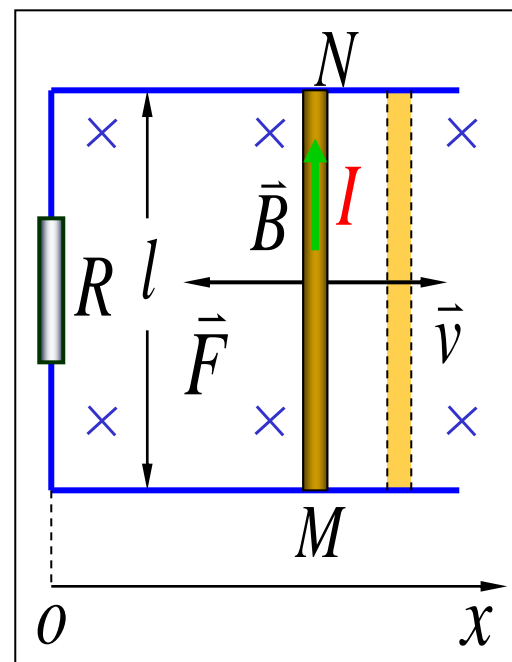
解 建立如图坐标系；

棒中 $\varepsilon_i = Blv$ 且由 $M \rightarrow N$

棒所受安培力为阻力：

$$F = IBl = \frac{B^2 l^2 v}{R}$$

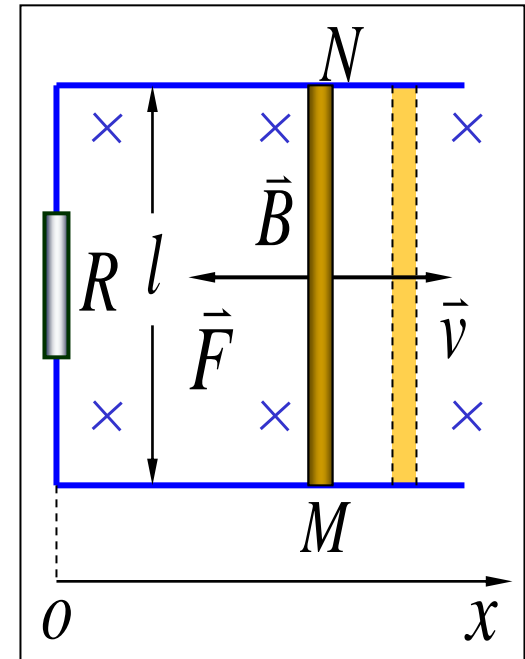
方向沿 Ox 轴反向



$$F = IBl = \frac{B^2 l^2 v}{R} \quad \text{方向沿 } Ox \text{ 轴反向}$$

棒的运动方程为: $m \frac{dv}{dt} = -\frac{B^2 l^2 v}{R}$

则 $\int_{v_0}^v \frac{dv}{v} = -\int_0^t \frac{B^2 l^2}{mR} dt$



计算得棒的速率随时间变化的函数关系为: $v = v_0 e^{-(B^2 l^2 / mR)t}$



若运动导体在非均匀磁场中，或导体上各点运动速度不一样， ε ?

$$d\varepsilon = \vec{v} \times \vec{B} \cdot d\vec{l} \Rightarrow \varepsilon = \int d\varepsilon$$

判断 $\vec{v} \times \vec{B}$ 的方向以及二者之间角度 φ 的正弦 $\sin \varphi$
 $\vec{v} \times \vec{B}$ 后的方向与矢量 dl 点乘的二者之间角度 θ 的余弦 $\cos \theta$

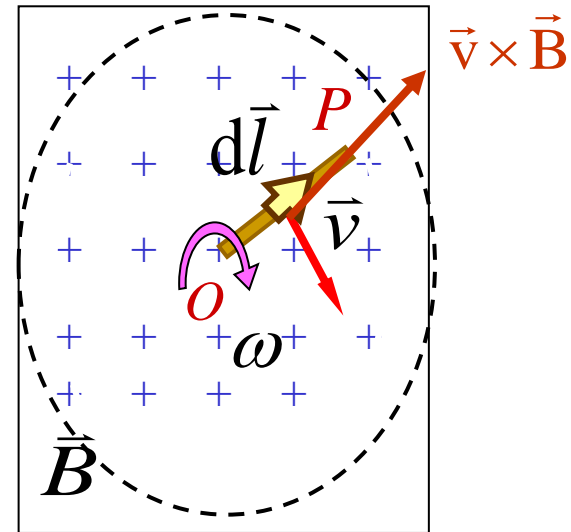
长 L 铜棒在均匀磁场 B 中，以匀角速度 ω 绕棒一端 O 转动，两端感应电动势。

取微元 dl 角度 $\varphi = 90^\circ$;
 角度 $\theta = 0^\circ$;

$$d\varepsilon_i = (\vec{v} \times \vec{B}) \cdot d\vec{l} = vBdl$$

$$\int_0^L \omega l B dl = \int_0^L v B dl = \frac{1}{2} \omega B L^2$$

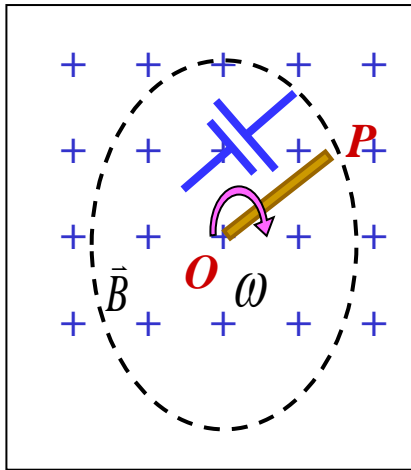
方向: $O \rightarrow P$ 即 $U_P > U_O$



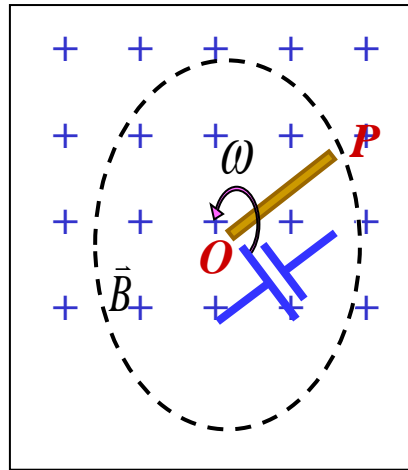
法拉第电机： 设铜盘的半径为 R ，角速度为 ω 。

可视为无数铜棒一端在圆心，另一端在圆周上，即为并联，因此其电动势类似于—根铜棒绕其一端旋转产生的电动势。

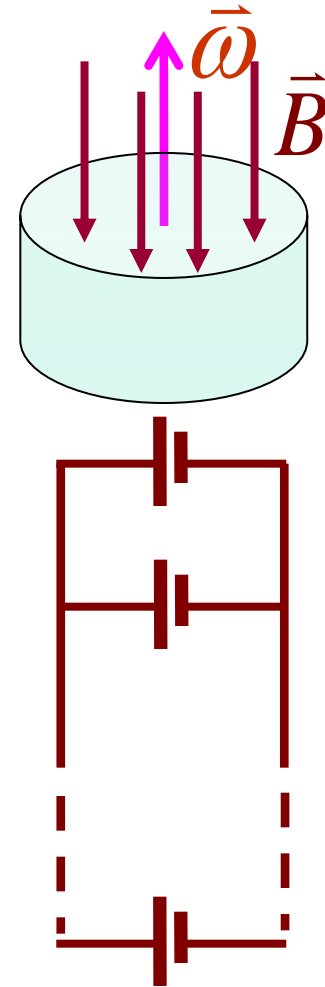
$$\therefore \Delta U = \frac{1}{2} B R^2 \omega$$



$$U_P > U_O$$



$$U_P < U_O$$



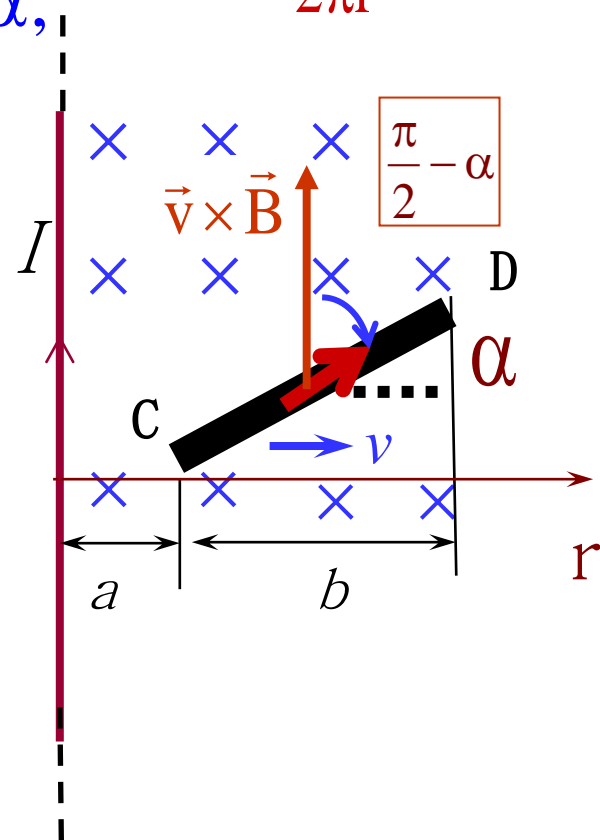
$$B = \frac{\mu_0 I}{2\pi r}$$

$$= v \frac{\mu_0 I}{2\pi r} \sin \alpha \frac{dr}{\cos \alpha}$$

$$\varepsilon = \frac{v\mu_0 I \tan \alpha}{2\pi} \int_a^{a+b} \frac{dr}{r}$$

$$= \frac{v\mu_0 I \tan \alpha}{2\pi} \ln \frac{a+b}{a}$$

方向: $C \rightarrow D$



【例 5】已知半圆环半径为R，匀角速度 ω 转动，均匀磁场B，求：
在图示位置(半圆在磁场平面内或角度 0°)，半圆弧两端的 ε_i

解1：动生电动势解法，半圆弧上取微元 dl

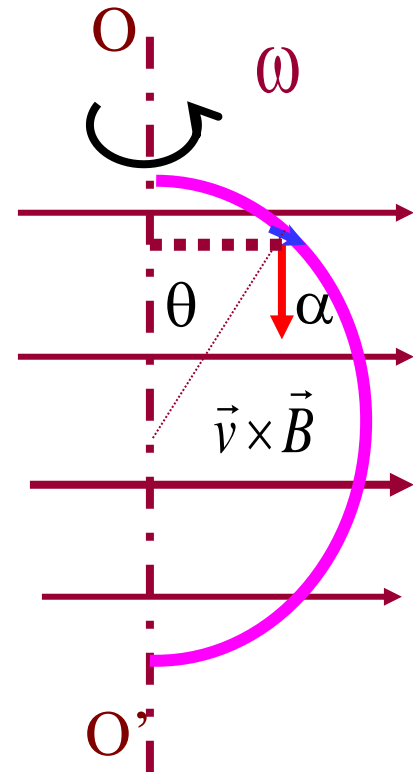
$$d\varepsilon = \vec{v} \times \vec{B} \cdot d\vec{l} \quad \begin{array}{l} \text{角度 } \varphi = 90^\circ; \\ \text{角度 } \alpha; \end{array}$$

$$= vB \cos \alpha dl$$

$$= (\omega R \sin \theta) B \sin \theta R d\theta$$

$$= \omega B R^2 \sin^2 \theta d\theta$$

$$\varepsilon_i = \int_0^\pi \omega B R^2 \sin^2 \theta d\theta = \frac{1}{2} \omega B \pi R^2 \quad \text{方向: } O \rightarrow O'$$



解2：法拉第定律直接求解（引入虚拟直径导线 OO' 形成虚拟回路）

回路磁通量 $\varphi = \vec{B} \cdot \vec{S} = BS \cos\left(\frac{\pi}{2} - \theta\right)$
 $= BS \sin \theta$

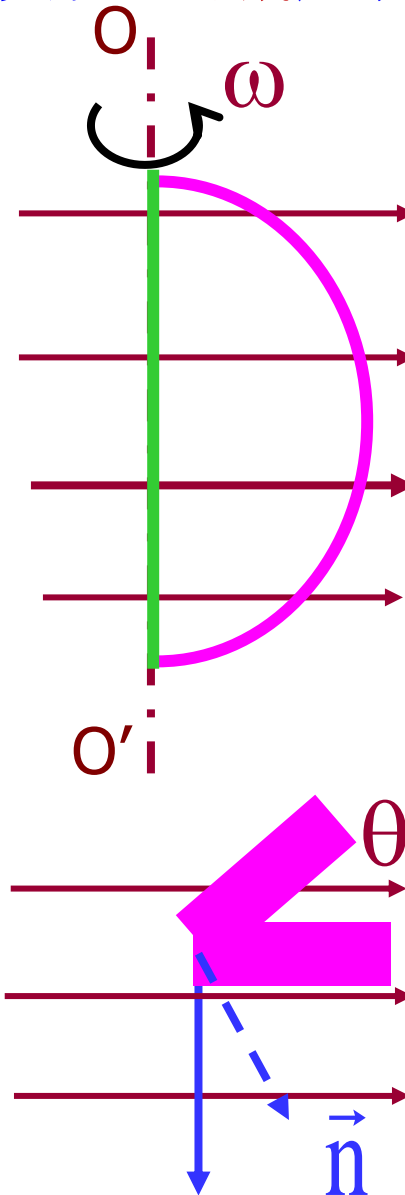
回路电动势

$$|\varepsilon_i| = \left| -\frac{d\varphi}{dt} \right| = B \frac{1}{2} \pi R^2 \cos \theta \frac{d\theta}{dt}$$

虚拟直径 OO' 无电动势，故

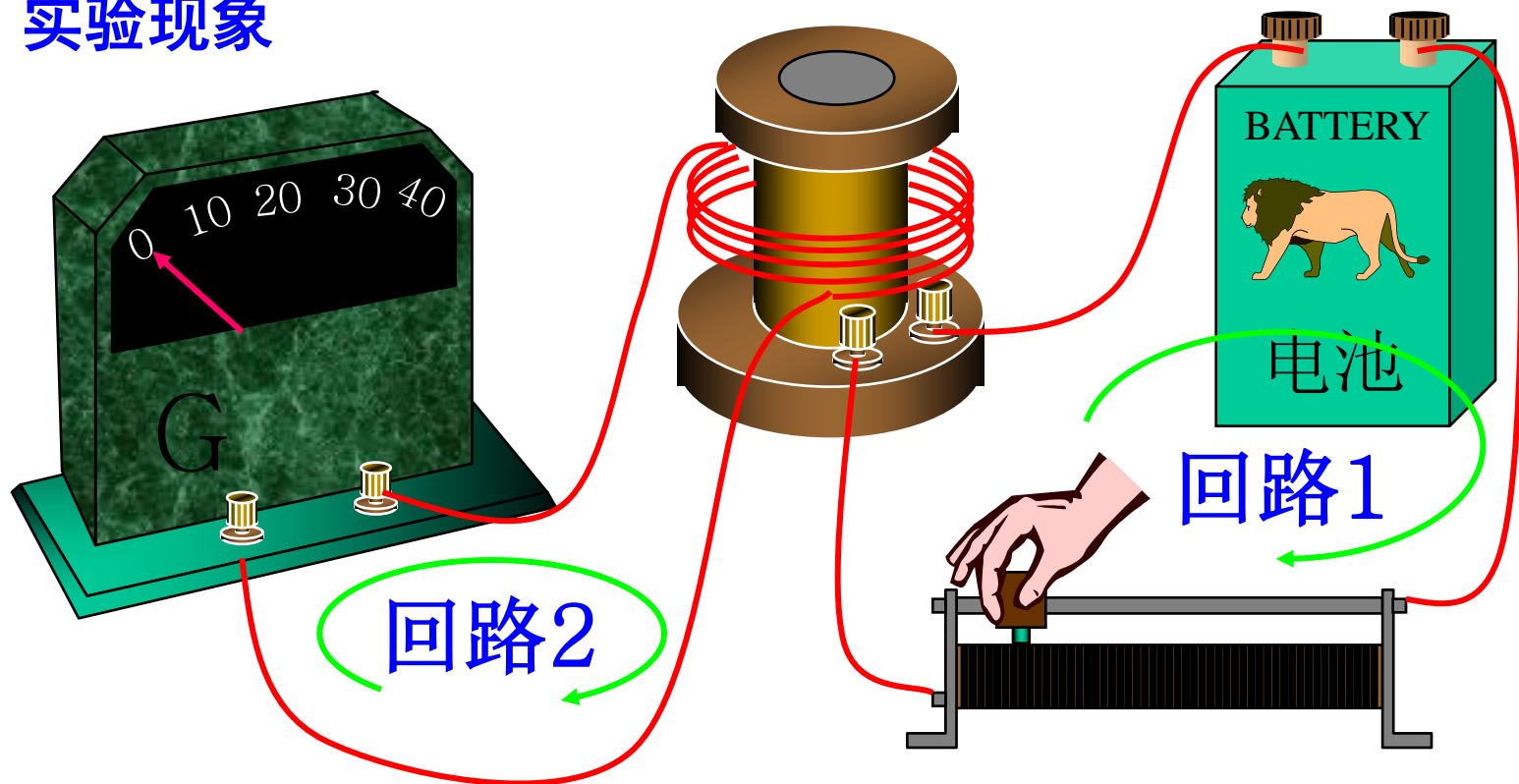
$$\varepsilon|_{\theta=0} = B \frac{1}{2} \pi R^2 \omega$$

方向： $O \rightarrow O'$ （楞次定律）



3. 感生电动势

1) 实验现象



当回路 1 中**电流发生变化**时，在回路 2 中出现**感应电动势**

产生感应电动势的**非静电力**是什么？

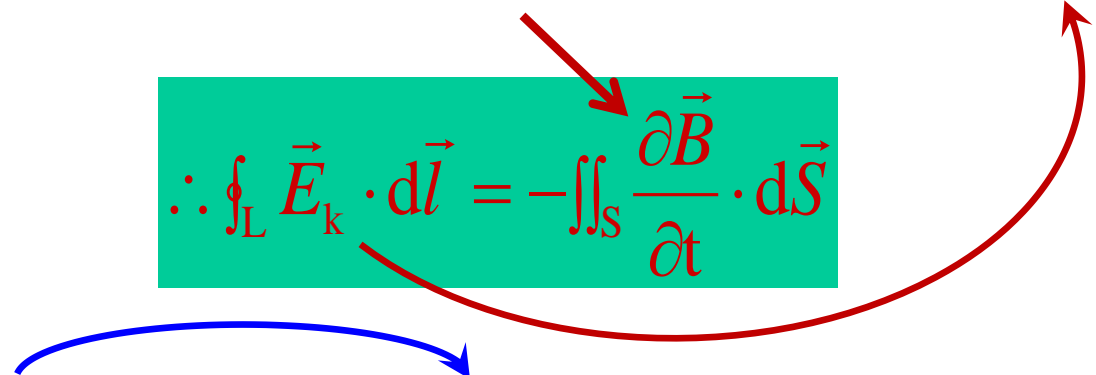
2) 感生电动势

法拉第电磁感应定律

$$\varepsilon = -\frac{d\phi_m}{dt} = -\iint_S \frac{\partial \vec{B}}{\partial t} \cdot d\vec{S}$$

电源电动势的定义

$$\varepsilon = \oint_L \vec{E}_k \cdot d\vec{l}$$

$$\therefore \oint_L \vec{E}_k \cdot d\vec{l} = -\iint_S \frac{\partial \vec{B}}{\partial t} \cdot d\vec{S}$$


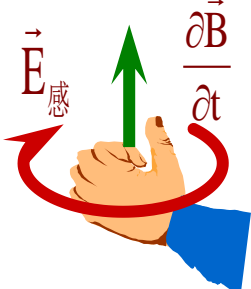
运动电荷 → 电流 → 磁场

变化电流 → 变化磁场 → 电场 ?

- 感生电场 (induced electric field) 由现象到本质!

Maxwell 的假说: 变化的磁场在其周围空间激发一种电场, 它提供一种能产生感生电动势非静电力。这种电场叫做感生电场。

3) 感生电场 (induced electric field)的空间物理图像

$$\oint_L \vec{E}_k \cdot d\vec{l} = - \iint_S \frac{\partial \vec{B}}{\partial t} \cdot d\vec{S}$$


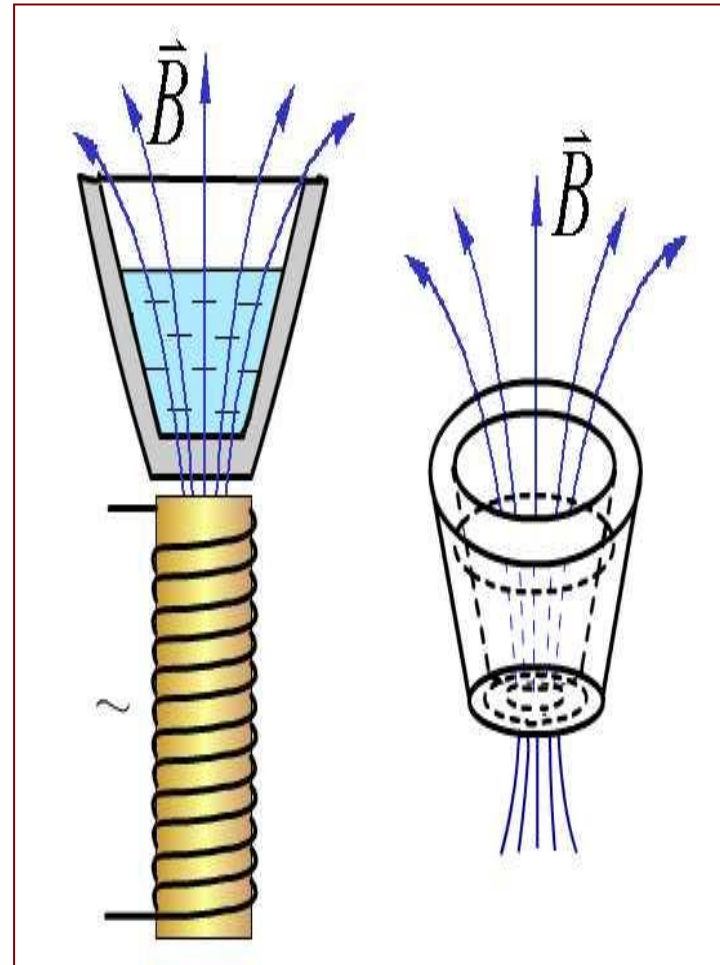
$$\left\{ \begin{array}{l} \oint_L \vec{E}_e \cdot d\vec{l} = 0 \\ \oint_L \vec{B} \cdot d\vec{l} = \mu_0 \sum_i I_i = \mu_0 \iint_S \vec{j} \cdot d\vec{S} \end{array} \right.$$

- A) 感生电场永远和磁感应强度矢量的变化连在一起；
- B) 感生电场对电荷都有作用力，若有导体存在都能形成电流。
- C) 感生电场的电场线是无头无尾的闭合曲线，类似于磁感应线。
即有旋电场；

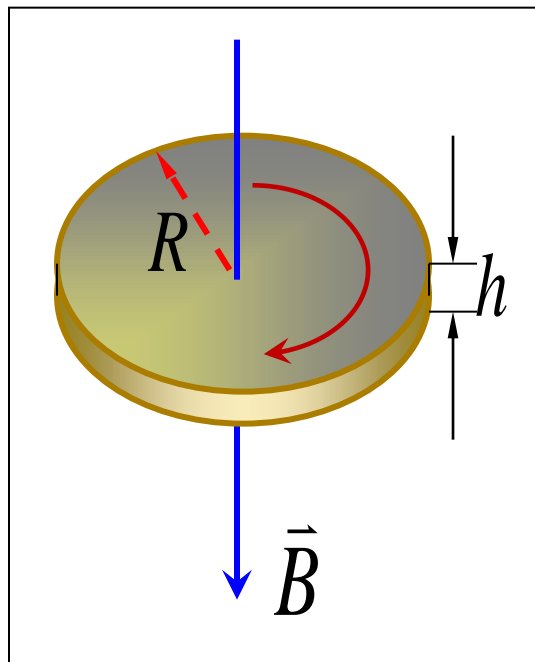
4. 涡电流

感应电流不仅能在导电回路内出现，而且当**大块导体**与磁场有相对运动或处在变化的磁场中时，在这块导体中也会激起感应电流。这种在大块导体内流动的感应电流，叫做**涡电流**，简称涡流。

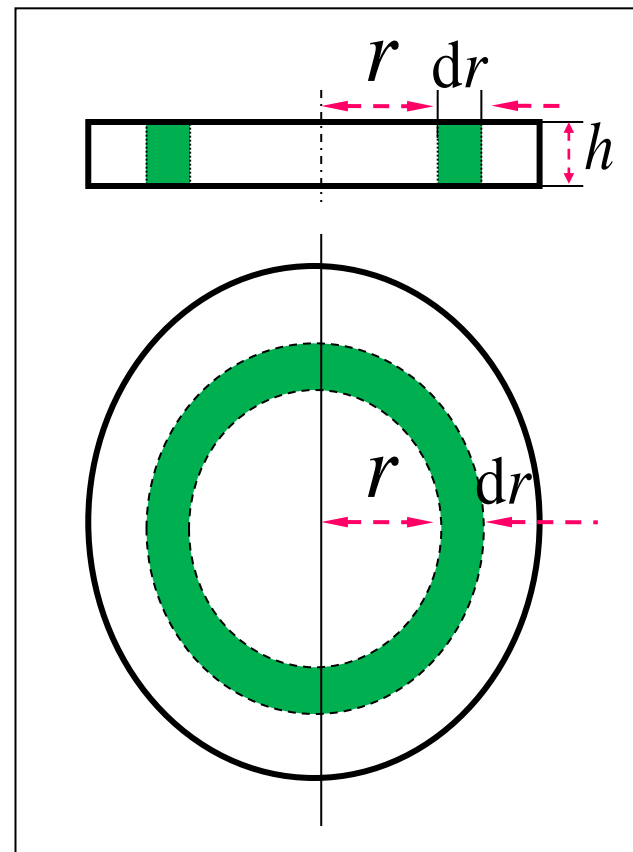
- 应用 热效应、**电磁阻尼效应**。



设有一半径为 R ，高度为 h 的铝圆盘，其电导率为 γ ，把圆盘放在磁感强度为 \vec{B} 的均匀磁场中，磁场方向垂直盘面，设磁场随时间变化， $\frac{dB}{dt} = k$ 且为一常量，求盘内的感应电流值。（圆盘内感应电流自己的磁场略去不计）



感应
电场



已知实验参数 $R, h, \gamma, \vec{B}, \text{d}B/\text{d}t = k$ 求 I

如图取一半径为 r , 宽度为 $\text{d}r$,
高度为 h 的圆环,

则圆环中的感生电动势的值为:

$$\varepsilon_i = \oint_L \vec{E}_k \cdot \text{d}\vec{l} = \int_S \frac{\text{d}\vec{B}}{\text{d}t} \cdot \text{d}\vec{s}$$

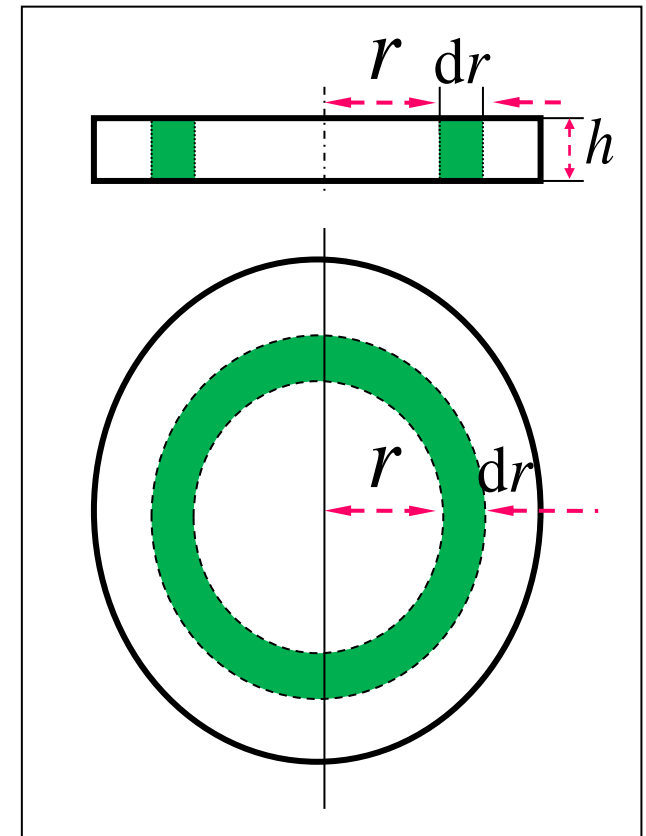
代入已知条件得电动势 $\varepsilon_i = \frac{\text{d}B}{\text{d}t} \int_S \text{d}s = k \pi r^2$

又电阻 $\text{d}R = \frac{1}{\gamma} \frac{2\pi r}{h \text{d}r}$

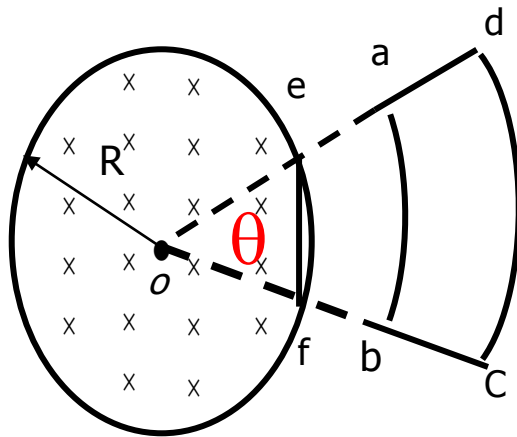
所以 $\text{d}I = \frac{k h \gamma}{2} r \text{d}r$

由计算得圆环中电流 $\text{d}I = \frac{k h \gamma}{2} r \text{d}r$

于是圆盘中的感应电流为 $I = \int \text{d}I = \frac{k h \gamma}{2} \int_0^R r \text{d}r = \frac{1}{4} k \gamma R^2 h$



【例 6】 如图，在圆柱形的空间存在均匀磁场，图中abcd为导线回路，O为圆心，ab、cd为圆弧，半径 R ，圆心角度 θ ，当磁感应强度随时间变化 dB/dt 时，1) 回路abcd中的感应电动势等于多少？2) 导线 ab、cd、ad、bc 两端电动势等于多少？3) 导线回路中各点和线的感生电场是否相等？4) 弦线ef 两端电动势。





解：根据磁场的方向和变化来判断感应电场大小的对称性和方向

因为感应电场为闭合的涡旋场，其对称性为与无限长螺线管垂直的横截面内的圆环，且在圆环上感应电场大小相同。

变化磁场与感应电场的关系：
$$\oint_L E_{\text{感}} \cdot d\vec{l} \cos 0^\circ = - \iint_S \frac{\partial B}{\partial t} dS \cos 0^\circ$$

选择闭合回路 L 和面积的方向；

$$\oint_L \vec{E}_{\text{感}} \cdot d\vec{l} = - \iint_S \frac{\partial \vec{B}}{\partial t} \cdot d\vec{S}$$

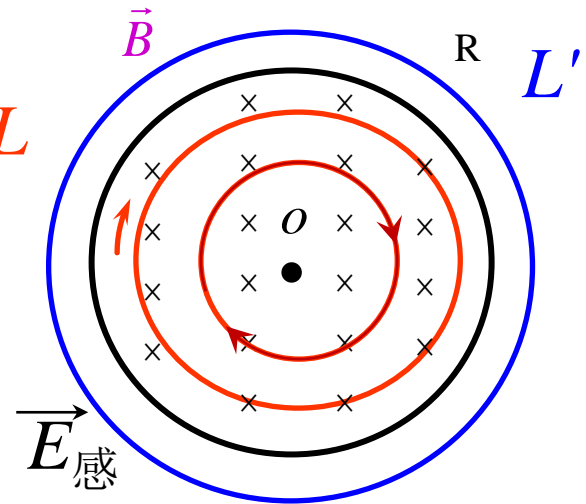
$$r < R, \oint_L \vec{E}_{\text{感}} \cdot d\vec{l} = E_{\text{感}} 2\pi r = -\pi r^2 \frac{dB}{dt}$$

无限长螺线管内部（顺时针方向）

$$E_{\text{感内}} = -\frac{r}{2} \frac{dB}{dt}$$

$$r > R, \oint_L \vec{E}_{\text{感}} \cdot d\vec{l} = E_{\text{感}} 2\pi r = -\pi R^2 \frac{dB}{dt}$$

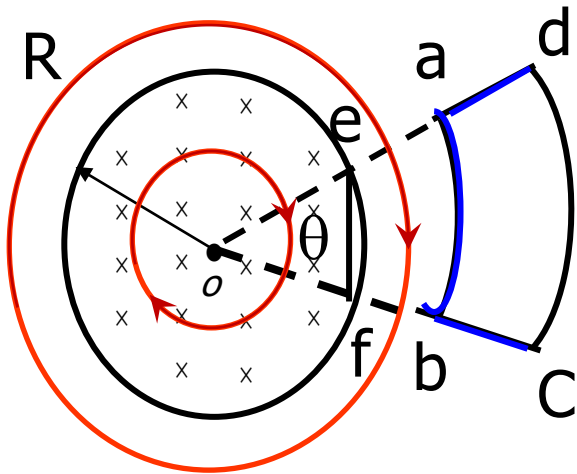
无限长螺线管外部（顺时针方向）



$$E_{\text{感外}} = -\frac{R^2}{2r} \frac{dB}{dt}$$

解 (1) 回路abcd中 $\varepsilon = 0$ ($\varphi = \vec{B} \cdot \vec{S} = 0$)

(2) 电动势定义的方法计算:



$$\varepsilon_{bc} = \int_b^c \vec{E} \cdot d\vec{l} = \int_b^c E \cos \frac{\pi}{2} dl = 0$$

$$\varepsilon_{ad} = \int_a^d \vec{E} \cdot d\vec{l} = \int_a^d E \cos \frac{\pi}{2} dl = 0$$

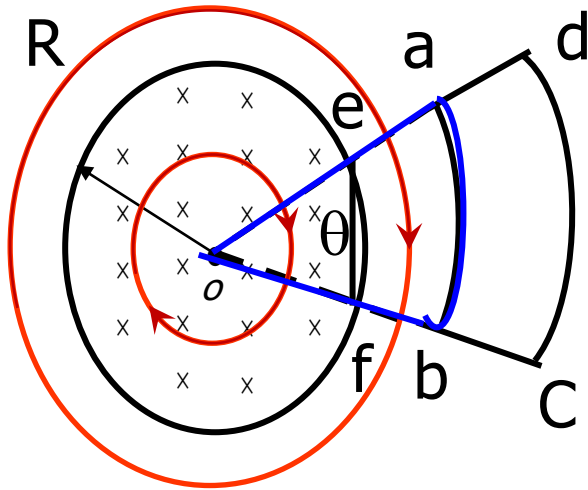
$$\varepsilon_{ab} = \int_a^b \vec{E} \cdot d\vec{l} = \int_a^b E dl$$

$$= \int_a^b -\frac{R^2}{2r} \frac{dB}{dt} dl = -\frac{R^2}{2r} \frac{dB}{dt} r\theta$$

$$= -\frac{R^2 \theta}{2} \frac{dB}{dt}$$

虚拟回路oabo中 $\varphi = \vec{B} \cdot \vec{S} = BS = B \frac{1}{2} R^2 \theta$

虚拟回路oabo中电动势 $\varepsilon = -\frac{d\varphi}{dt} = -\frac{1}{2} R^2 \theta \frac{dB}{dt}$ 此即ab弧的电动势



$$\frac{dB}{dt} > 0$$

方向:

b→a

$$\frac{dB}{dt} < 0$$

方向:

a→b

$$\varepsilon_{cd} = \frac{R^2 \theta}{2} \frac{dB}{dt}$$

顺时针方向,

方向讨论如上;

(3) ab弧上感应电场大小一样、方向不一样, cd弧亦如此;

ab线上感应电场大小不一样、cd线上感应电场大小也不一样

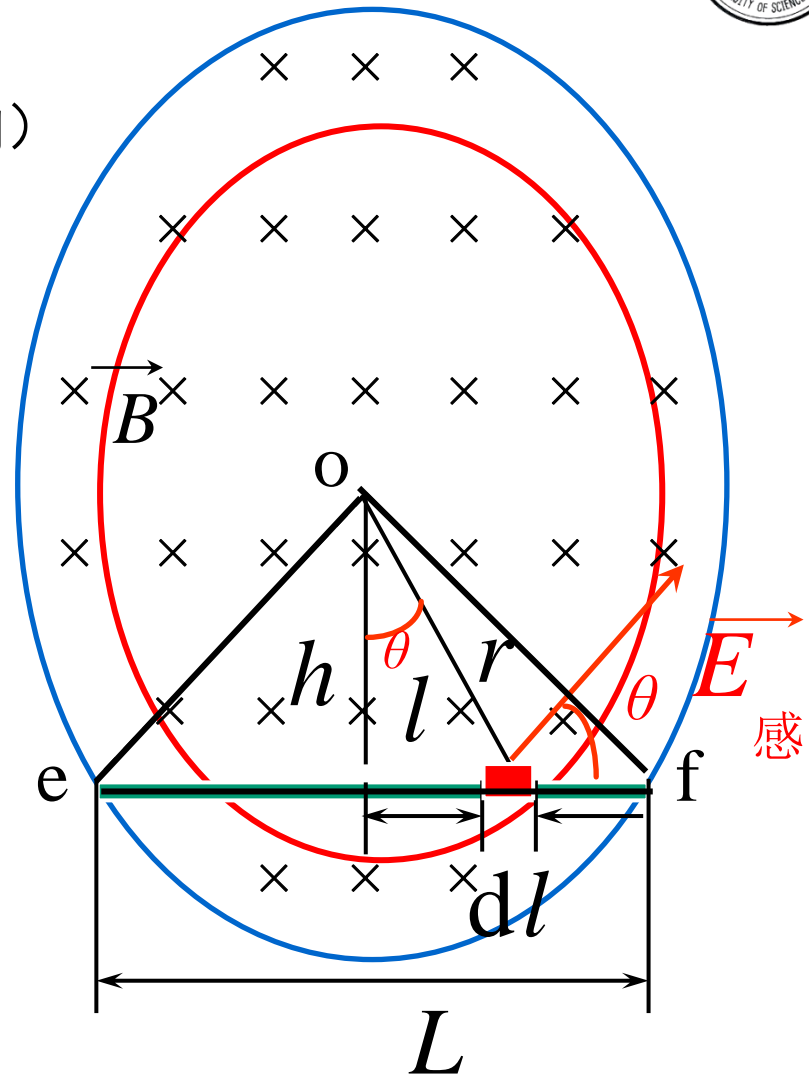
4) 由电动势的定义求解 ε_{ef} (逆时针方向)

$$\varepsilon = \int \vec{E}_{\text{感}} \cdot d\vec{l} = \int \frac{r}{2} \frac{dB}{dt} \cos \theta dl$$

$$= \int \frac{r}{2} \frac{dB}{dt} \frac{h}{r} dl = \frac{1}{2} \frac{dB}{dt} h \int dl = \frac{1}{2} hL \frac{dB}{dt}$$

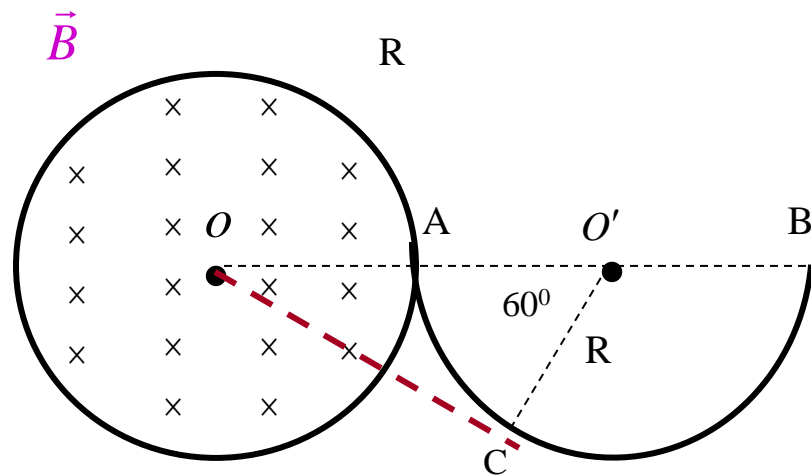
$$\frac{dB}{dt} > 0 \quad \text{感生电动势方向为 } e \rightarrow f$$

$$\frac{dB}{dt} < 0 \quad \text{感生电动势方向为 } f \rightarrow e$$



还可以作虚拟回路 $oefo$ 由法拉第定律求解 (同学们课后练习)

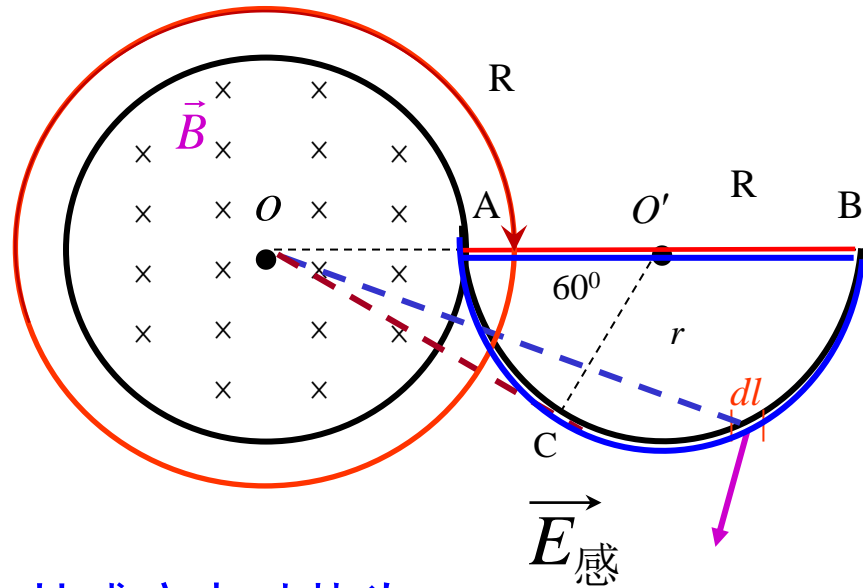
【例 7】 如图所示，在半径为 R 的无限长螺线管内部磁感应强度的大小随时间而减小， $\mathrm{d}B/\mathrm{d}t = -K$ ，垂直于无限长螺线管的截面内**有一半半径为 R 的半圆弧导体ACB**，C点恰好为在平面内过螺线管中心O点的半圆的切线上的切点。求**半圆AB和弧长AC的感应电动势**。



做辅助线导线直径AB,

直径AB的感应电动势为:

$$\mathcal{E}_{AB} = \int_{A \rightarrow B} \vec{E}_{\text{感}} \cdot d\vec{l} = 0$$



选择虚拟闭合半圆回路ACBA, 其感应电动势为 0。

半圆AB的感应电动势为: $\mathcal{E}_{\widehat{AB}} = 0$

理论上, 半圆AB的感应电动势可以按积分定义计算, 如图取微元 dl :

$$E_{\text{感外}} = -\frac{R^2}{2r} \frac{dB}{dt} \quad \mathcal{E}_{\widehat{AB}\text{感}} = \int_{\widehat{A} \rightarrow \widehat{B}} \vec{E}_{\text{感}} \cdot d\vec{l}$$

如果选择合适的闭合回路, 应用法拉第定律计算的效果会更方便:



选择扇形虚拟闭合回路ACO'A, $\because \phi = 0 \rightarrow \varepsilon_{ACO'A} = \varepsilon_{AC} + \varepsilon_{C\bar{O}'} + \varepsilon_{\bar{O}'A} = 0$

$$\varepsilon_{\bar{O}'A} = 0 \quad \varepsilon_{C\bar{O}'} = 0$$

圆弧AC的感应电动势

$$\varepsilon_{AC} = 0$$



$$\varepsilon_{C\bar{O}'} \neq 0$$

$$\begin{aligned} \vec{E}_{\text{感}} \cdot d\vec{l}_{O'C} &\neq 0 \\ \int_{O'}^C \vec{E}_{\text{感}} \cdot d\vec{l} &\neq 0 \end{aligned}$$

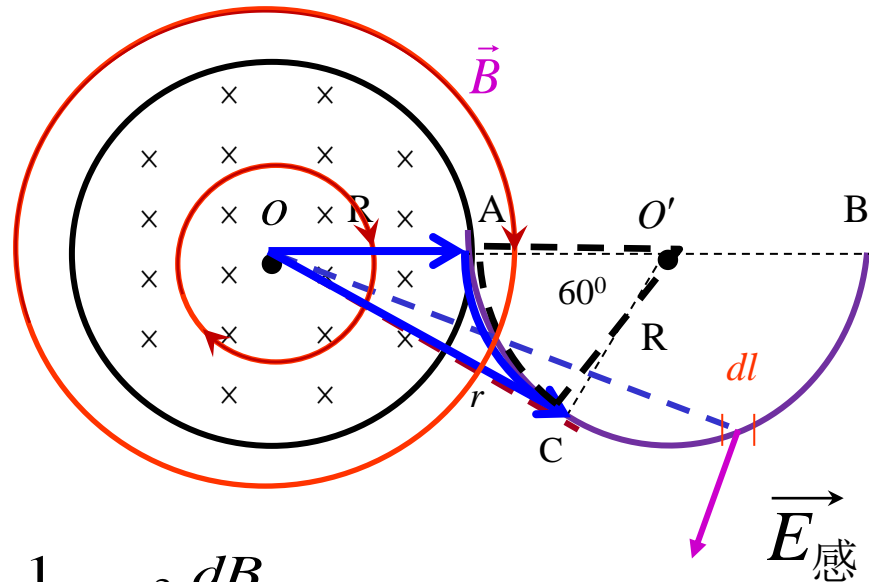
做辅助线导线OA和OC, 选择闭合虚拟回路OCAO, 应用法拉第定律计算:

其磁通量时由穿过 30° 圆心角的扇形面积的磁场来决定的。

$$\varepsilon_{OCAO} = -S \frac{dB}{dt} = -\frac{1}{12} \pi R^2 \frac{dB}{dt}$$

$$\varepsilon_{AO} = 0 \quad \varepsilon_{OC} = 0$$

$$\varepsilon_{OCAO} = \varepsilon_{OC} + \varepsilon_{CA} + \varepsilon_{AO}$$



圆弧AC的感应电动势

$$\varepsilon_{CA} = -\frac{1}{12} \pi R^2 \frac{dB}{dt}$$



【例 8】如图，无限长直导线流过电流 $i = I_0 \cos \omega t$ ，矩形导体线框与直线共面，导体线框以速度 v 沿 x 轴运动，求线框在图示位置时，**线框回路中的感应电动势**。

解：磁场变化同时导体运动，既有感生电动势，也有动生电动

选择法拉第定律是相对好的解决方法。

先确定空间磁场，然后计算磁通量 Φ 。

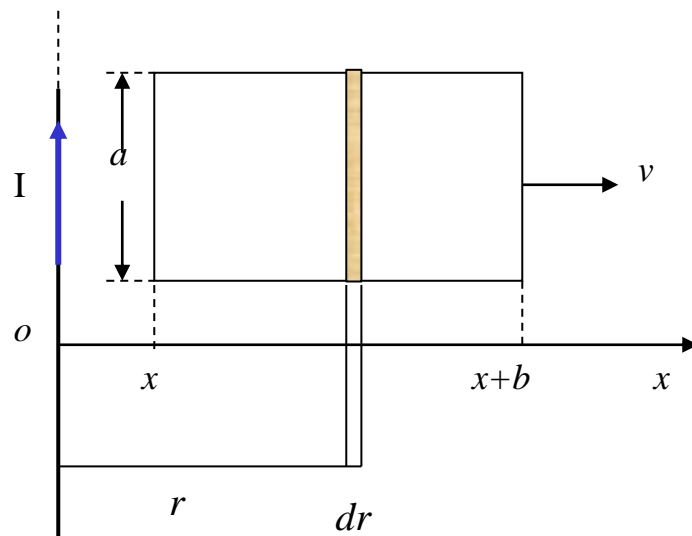
再运用法拉第定律解决总电动势 ε 问题。

$$\Phi = \int_S \vec{B} \cdot d\vec{S} = \int_x^{x+b} \frac{\mu_0 i}{2\pi r} \boxed{a dr} = \frac{\mu_0 i a}{2\pi} \ln \frac{x+b}{x}$$

$$\varepsilon = -\frac{d\Phi}{dt} = -\frac{d}{dt} \left(\frac{\mu_0 i a}{2\pi} \ln \frac{x+b}{x} \right)$$

$$= -\frac{\mu_0 I_0 a \cos \omega t}{2\pi} \frac{d}{dt} \left(\ln \frac{x+b}{x} \right) - \frac{\mu_0 a}{2\pi} \ln \frac{x+b}{x} \frac{d}{dt} (I_0 \cos \omega t)$$

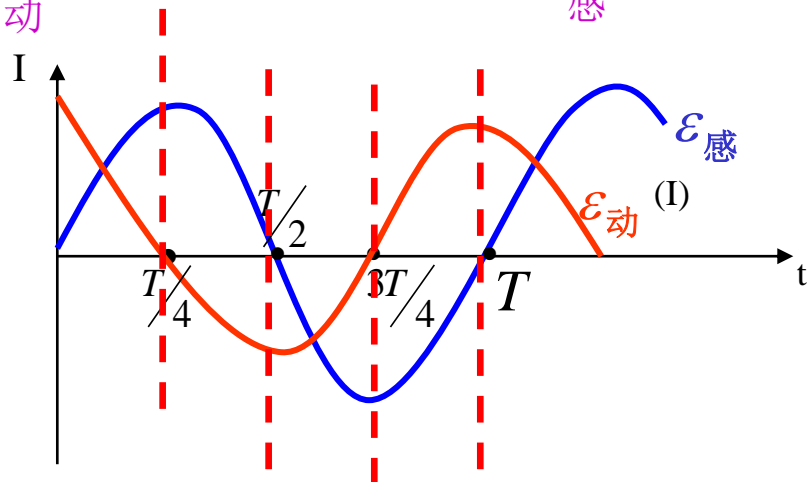
$$= \frac{\mu_0 a I_0 \cos \omega t}{2\pi} \frac{b}{x(x+b)} \frac{dx}{dt} + \frac{\mu_0 a I_0 \sin \omega t}{2\pi} \ln \frac{x+b}{x} = \frac{\mu_0 a I_0 \cos \omega t}{2\pi} \frac{b}{x(x+b)} v + \frac{\mu_0 a I_0 \sin \omega t}{2\pi} \ln \frac{x+b}{x}$$



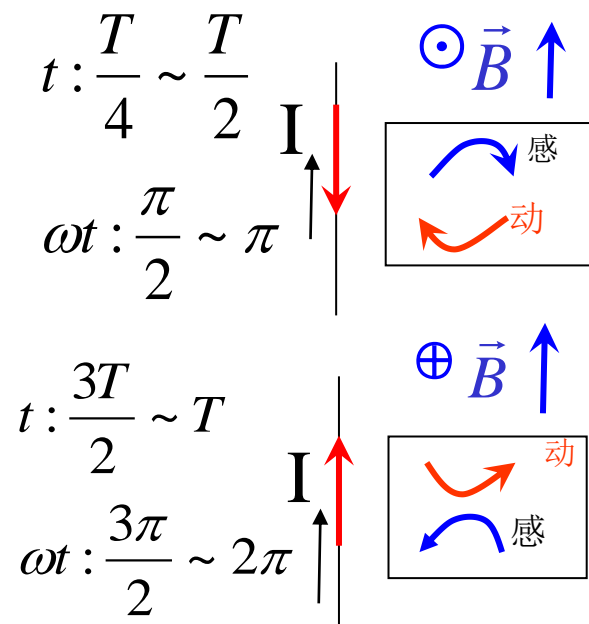
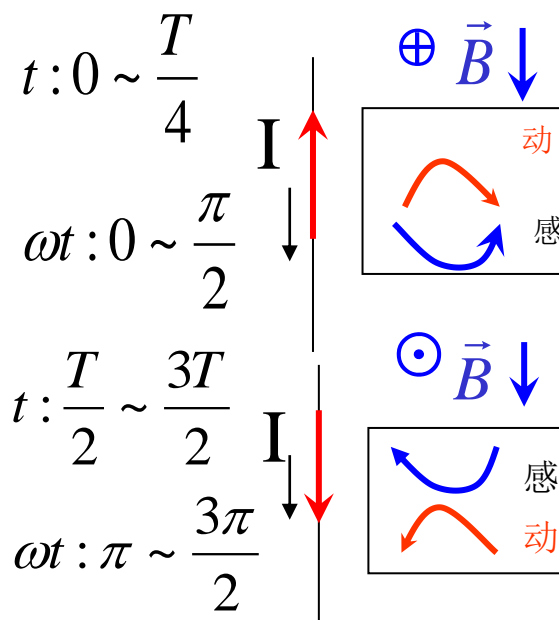
$$\mathcal{E} = \underbrace{\frac{\mu_0 a I_0 \cos \omega t}{2\pi} \frac{b}{x(x+b)}}_{\mathcal{E}_{\text{动}}} v + \frac{\mu_0 a I_0 \sin \omega t}{2\pi} \ln \frac{x+b}{x} \quad \mathcal{E}_{\text{感}}$$

电动势与时间 t 的部分讨论：

$$T = \frac{2\pi}{\omega}$$



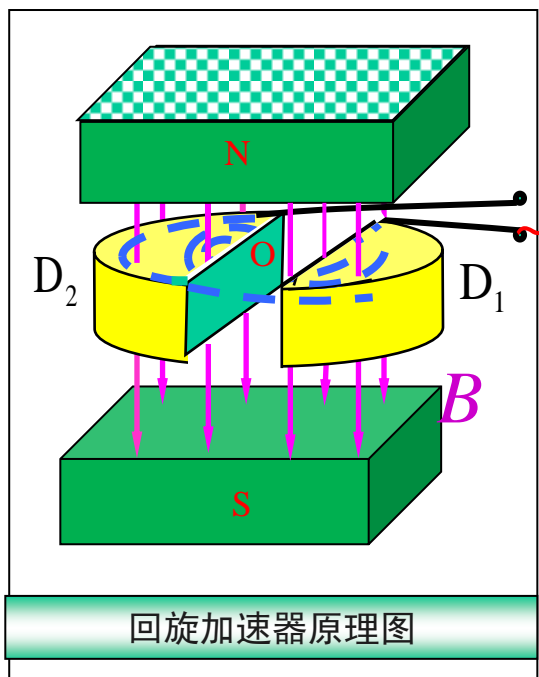
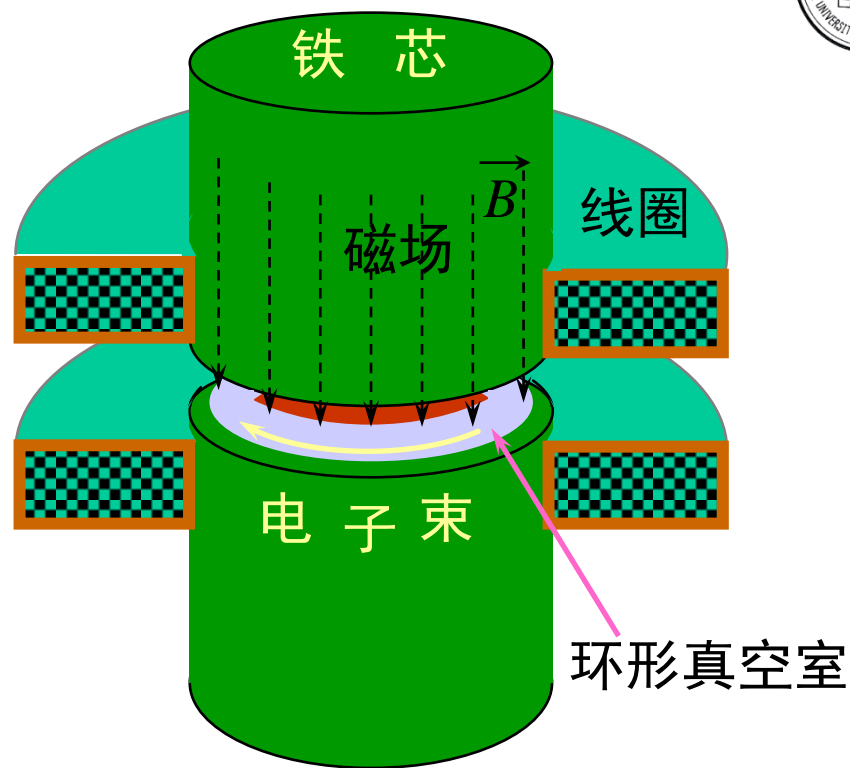
$$i = I_0 \cos \omega t$$



5. 电子感应加速器

—用感应电场使电子加速

当**磁场**发生变化时，就会沿规道方向产生**感应电场**，射入的电子被加速。



电子运行的轨道—环形真空室中半径为 r 的圆形。

如何使电子维持在恒定的圆形轨道上加速？

$$B_r e v = \frac{mv^2}{r} \Rightarrow r = \frac{mv}{eB_r} = \text{恒量}$$

条件: B_r 随电子动量 mv 增加而增加



$$\because \oint_L \mathbf{E}_r \cdot d\mathbf{l} = 2\pi r E_r = \frac{d\phi}{dt} \Rightarrow E_r = \frac{1}{2\pi r} \frac{d\phi}{dt} \quad (\text{电子轨道处的感应电场的大小})$$

$$eE_r = \frac{e}{2\pi r} \frac{d\phi}{dt} = \frac{d}{dt}(mv)$$

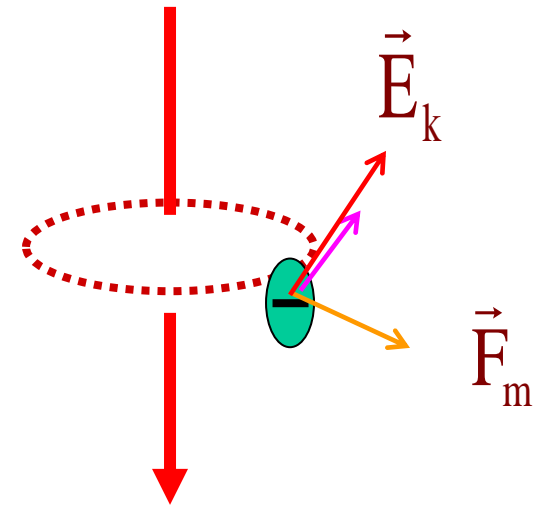
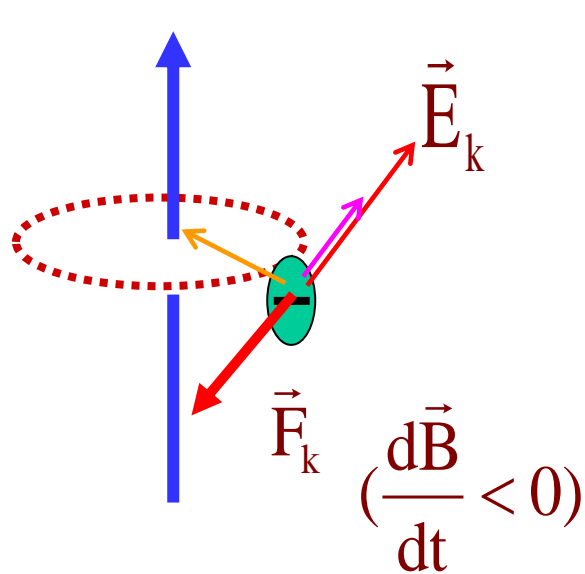
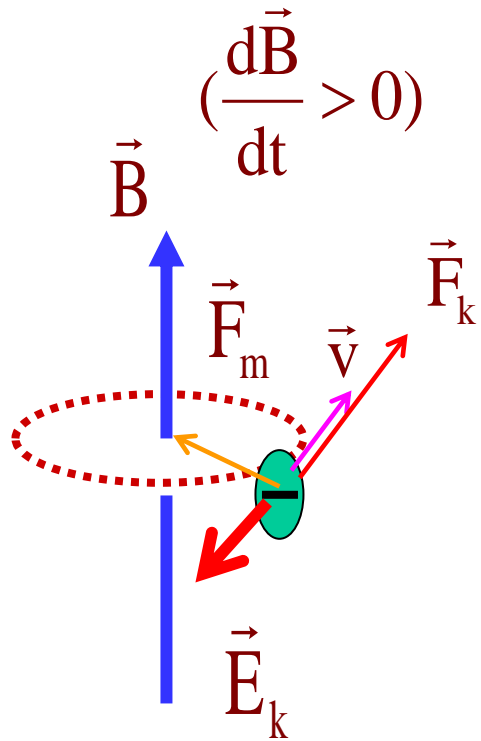
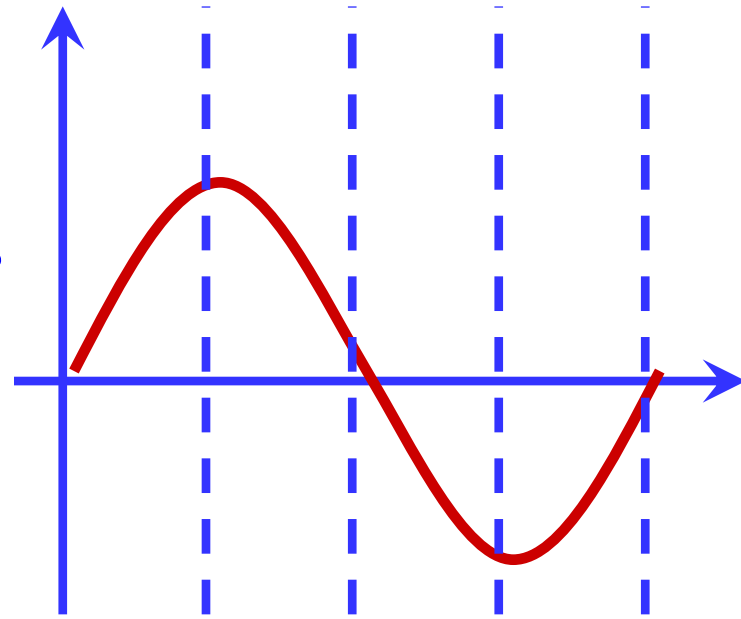
$$\therefore \int d(mv) = \int_0^\phi \frac{e}{2\pi r} d\phi$$
$$mv = \frac{e}{2\pi r} \phi = \frac{e}{2\pi r} \pi r^2 \bar{B} = \frac{er}{2} \bar{B}$$

$$r = \frac{mv}{eB_r} \Rightarrow mv = erB_r$$

$$B_r = \frac{1}{2} \bar{B}$$

轨道平面上磁感应强度**B**必须不均匀，轨道处磁感应强度等于轨道内磁感应强度平均值的一半！

电子加速只发生在1/4周期内。





6. 感生电场与静电场性质的异同点

感应电场（相同点：两种电场对放入其中的电荷都有作用力）静电场

成因不同：变化的磁场激发

性质不同：感生电场是无源有旋场

高斯定理：
$$\oiint_S \vec{E}_{\text{感}} \cdot d\vec{S} = 0$$

环路定理：
$$\oint_L \vec{E}_{\text{感}} \cdot d\vec{l} = - \iint_S \frac{\partial \vec{B}}{\partial t} \cdot d\vec{S}$$

感应电场是涡旋场，非保守场

在导体内可产生感生电动势和电流

成因不同：静止的电荷激发

性质不同：静电场为有源无旋场。

高斯定理：
$$\oiint_S \vec{D} \cdot d\vec{S} = \sum_i q_{i0} = \iiint_V \rho dV$$

环路定理：
$$\oint_L \vec{E}_{\text{静}} \cdot d\vec{l} = 0$$

静电场是保守场引入势能和电势

不能在导体内产生持续电流



7. 动生电动势与感生电动势的不同

法拉第定律: $\mathcal{E} = -\frac{d\Phi}{dt} = -\frac{d}{dt} \iint_S \vec{B} \cdot d\vec{S}$

动生电动势

特点:导体在磁场中运动与**磁力线切割**

机制:运动导体中的电荷在磁场中产生
非静电力—洛伦兹力;

应用: 例如, 电子回旋加速器;

计算动生电动势方法(从机制考虑):

$$\mathcal{E}_{\text{动}} = \int_L \vec{E}_{\text{非静电}} \cdot d\vec{l} = \int_L (\vec{v} \times \vec{B}) \cdot d\vec{l}$$

从**法拉第定律考虑**, 通过导体回路(或虚拟回路的面积 S 、或其法向方向与磁场方向之间的夹角 θ)随时间 t 变化, 引起磁通量随时间变化来求解动生电动势。

感生电动势

特点:**随时间变化磁场**影响导体或回路电荷

机制:随时间变化的磁场激发感应电场,
产生**非静电力-感生电场力**

应用: 例如, 电子感应加速器;

计算感生电动势方法(从机制考虑):

$$\mathcal{E}_{\text{感}} = \int_L \vec{E}_{\text{感}} \cdot d\vec{l}$$

$$\oint_L \vec{E}_{\text{感}} \cdot d\vec{l} = - \iint_S \frac{\partial \vec{B}}{\partial t} \cdot d\vec{S}$$

$$\nabla \times \vec{E}_{\text{感}} = -\frac{\partial \vec{B}}{\partial t}$$

从**法拉第定律考虑**, 随时间变化的磁场, 引起通过导体回路(或含辅助导线的虚拟回路)的磁通量 Φ 随时间 t 发生变化来求解感生电动势

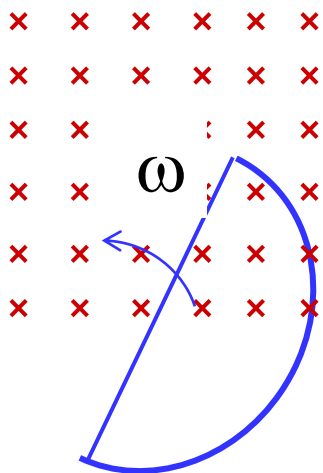


【练习 1】桌面水平放置 $r=10\text{cm}$ 金属圆环，电阻 $R=1\Omega$ ，地磁场竖直分量 $5\times 10^{-5}\text{T}$ ，将环面翻转一次，沿环流过任一横截面的电量为多少？

解：由法拉第定律方法： $\varepsilon = -\frac{d\phi}{dt}$

由欧姆定律： $I = \frac{\varepsilon}{R} = -\frac{1}{R} \frac{d\phi}{dt} = \frac{dq}{dt} \Rightarrow dq = -\frac{1}{R} d\phi \Rightarrow q = \frac{2BS}{R}$ 同学们课后练习计算；

【练习 2】如图，匀强磁场， $t=0$ 时，半圆形闭合导线完全在磁场外，以匀角速度 ω 旋转，选顺时针为正，画出半圆形闭合导线中的电动势时间曲线。

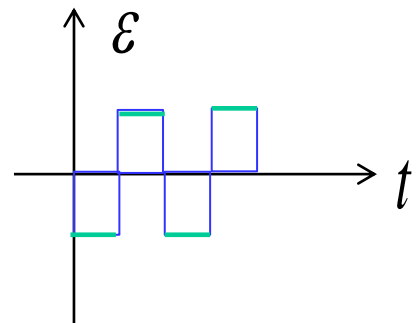


解：由法拉第定律方法：

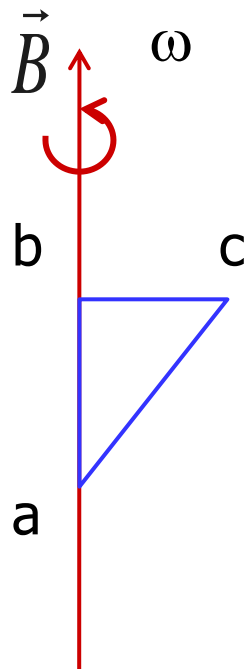
$$\varepsilon = -\frac{d\phi}{dt}$$

$$d\phi = B dS = BR^2 d\theta / 2$$

$$\varepsilon = -d\phi/dt = -\omega BR^2 / 2$$



【练习 3】如图所示，直角三角形金属框架abc放在均匀磁场B中，B平行于ab边，当金属框架绕ab边以匀角速度 ω 转动时，abca回路中的感应电动势为多少？如果bc边的长度为 l ，则a、c两点间的电势差为多少？



解：由法拉第定律方法和动生电动势方法计算：

$$\mathcal{E} = 0$$

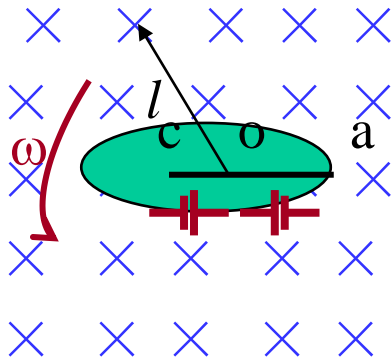
$$\mathcal{E} = 0 = \mathcal{E}_{ab} + \mathcal{E}_{bc} + \mathcal{E}_{ca}$$

$$U_{ac} = -\mathcal{E}_{ac} = \mathcal{E}_{ca} = -\mathcal{E}_{bc} = -\frac{1}{2}B\omega l^2$$

【练习 4】如图，匀强磁场，杆ca绕固定点O在垂直磁场平面内逆时针匀角速度为 ω 旋转，杆长 d ，旋转半径 l ，问ac之间的电势差？

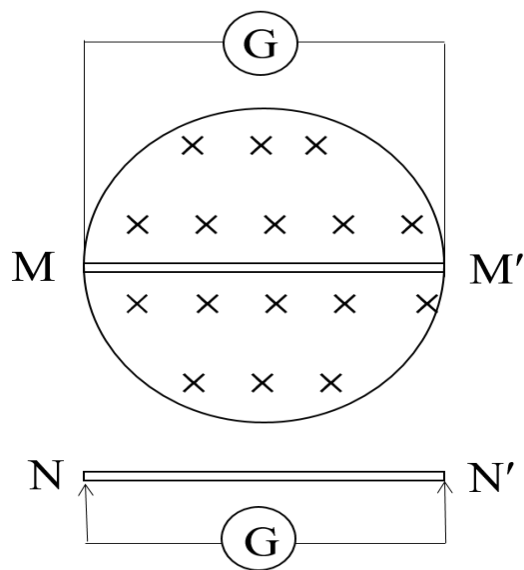
解：由动生电动势方法计算：

$$U_a - U_o = -\varepsilon_{ao} = -\frac{1}{2}\omega B l^2$$



$$\begin{aligned} U_a - U_c &= U_a - U_o + U_o - U_c \\ &= -\frac{1}{2}\omega B l^2 + \frac{1}{2}\omega B (d-l)^2 \end{aligned}$$

【练习 5】均匀磁场充满圆柱形体积内，两根金属棒长均 $2R$ ，分别如图放置，一根在圆柱形体积的截面的直径上，另一根在磁场外，分别用电流计接上。当 B 以速率 dB/dt 变化时， MM' 、 NN' 中感应电动势 ε_1 、 ε_2 和流过两回路的电流 i_1 、 i_2 应为 []:

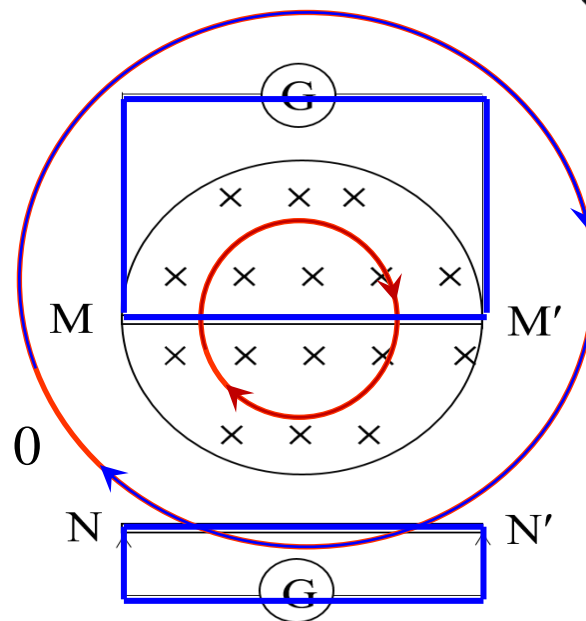


- (A) $\varepsilon_1 = 0$, $\varepsilon_2 \neq 0$, $i_1 \neq 0$, $i_2 = 0$
- (B) $\varepsilon_1 \neq 0$, $\varepsilon_2 = 0$, $i_1 \neq 0$, $i_2 = 0$
- (C) $\varepsilon_1 = 0$, $\varepsilon_2 \neq 0$, $i_1 = 0$, $i_2 \neq 0$
- (D) $\varepsilon_1 \neq 0$, $\varepsilon_2 \neq 0$, $i_1 \neq 0$, $i_2 \neq 0$

- (A) $\varepsilon_1 = 0, \varepsilon_2 \neq 0, i_1 \neq 0, i_2 = 0$
 (B) $\varepsilon_1 \neq 0, \varepsilon_2 = 0, i_1 \neq 0, i_2 = 0$
 (C) $\varepsilon_1 = 0, \varepsilon_2 \neq 0, i_1 = 0, i_2 \neq 0$
 (D) $\varepsilon_1 \neq 0, \varepsilon_2 \neq 0, i_1 \neq 0, i_2 \neq 0$

解：MM'上感应电场处处与MM'垂直， $\varepsilon_{MM'} = 0$

包含MM'回路感应电动势不为0。



由穿过如图上半圆的磁场的磁通量随时间 t 的变化决定的。 $i_{MM'} \neq 0$

NN'的感应电场与NN'不垂直， $\varepsilon_{NN'} \neq 0$

包含NN'的回路感应电动势为0。

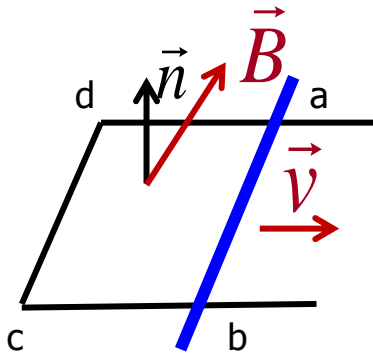
如图，没有下半圆的磁场穿过回路，磁通量为0。 $i_{NN'} = 0$



【练习 6】如图所示，长为 l 的导线，以匀速率 v 在导线轨道abcd上平移。导体轨道处于均匀磁场中，方向与回路法线成 60° 角，其大小 $B=kt(k>0)$ 。如 $t=0$ 时，杆ab在导轨dc处，则在任意时刻，导线回路中的感应电动势为

- (A) $klvt$ ，顺时针方向 (B) $klvt$ ，逆时针方向
(C) $klvt/2$ ，顺时针方向 (D) $klvt/2$ ，逆时针方向

解：由法拉第定律方法： $\varphi = \vec{B} \cdot \vec{S} = Bx l \cos 60^\circ$

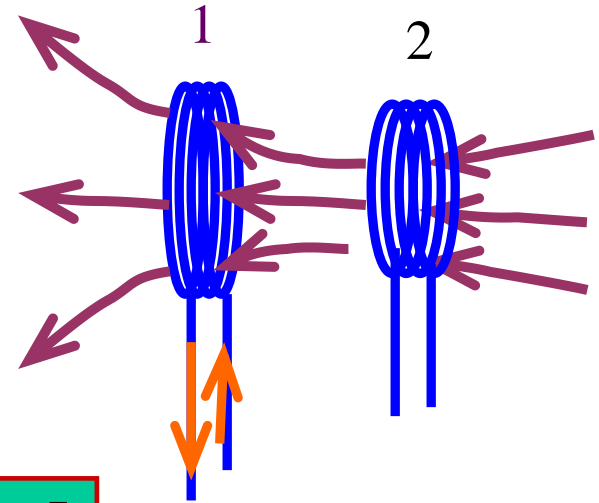


$$\begin{aligned} \varepsilon &= \left| -\frac{d\varphi}{dt} \right| = l \cos 60^\circ \left(\frac{dB}{dt} x + B \frac{dx}{dt} \right) = \frac{1}{2} l (kx + Bv) \\ &= \frac{1}{2} l (kvt + ktv) \end{aligned}$$

§ 12.3 互感和自感

1. 互感

当线圈1中电流变化时，所激发的磁场会在它邻近的线圈2中产生感应电动势的现象为互感现象，该电动势叫互感电动势。



实验可给出：

$$\Psi_{12} = M_{12} I_1$$

$$\Psi_{21} = M_{21} I_2$$

若两回路几何形状、尺寸及相对位置不变，周围有无铁磁性物质。

实验和理论均可以证明：

$$M_{21} = M_{12} = M \quad \text{——互感系数} \quad \text{单位：亨利 (H)}$$



由互感磁通量和法拉第定律 $\Psi_{12} = MI_1$ $\Psi_{21} = M I_2$

互感电动势

$$\varepsilon_{12} = -\frac{d\Psi_{12}}{dt} = -M \frac{dI_1}{dt}$$

$$\varepsilon_{21} = -\frac{d\Psi_{21}}{dt} = -M \frac{dI_2}{dt}$$

讨论： 1) 互感系数和互感电动势都与两回路的几何形状、尺寸，它们的相对位置，以及周围介质的磁导率有关。**互感电动势还与线圈电流变化快慢有关。**

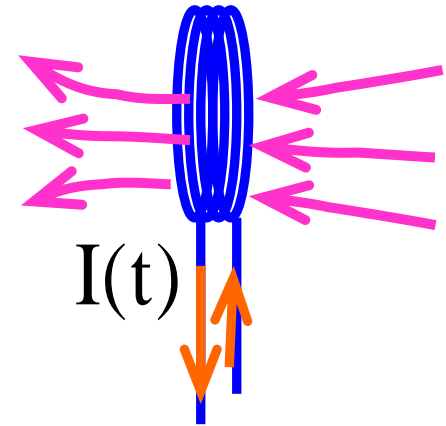
2) 互感系数的大小反映了两个线圈磁场的**相互影响程度**。

3) **M 的存在的利与弊：** 在变压器中： M 越大，能量损失越小。

在电子线路中： M 越大，相互干扰越大。

2. 自感

当线圈中电流变化时，它所激发的磁场通过线圈自身的磁通量也在变化，使线圈自身产生感应电动势的现象，该电动势叫自感电动势。



$$d\varphi = \vec{B} \cdot d\vec{S} \propto I$$

回路磁通量与回路的电流成正比：

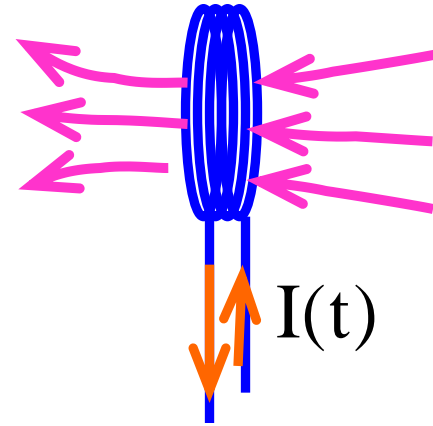
$$\varphi = LI \quad \text{—— } L \text{ 自感系数 (亨利 H)}$$

自感电动势：

$$\varepsilon_L = -L \frac{dI}{dt}$$

自感电动势：

$$\varepsilon_L = -L \frac{dI}{dt}$$



物理意义： 自感 L 有维持原电路状态的能力， L 就是这种能力大小的量度，它表征回路电磁惯性的大小。

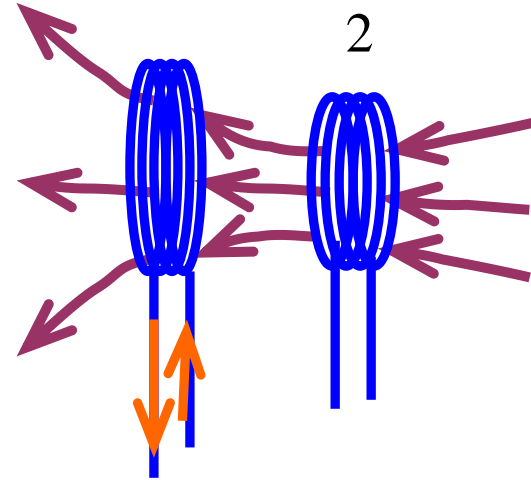
一个线圈中通有单位电流时，通过线圈自身的磁通链数，等于该线圈的自感系数。

电流强度变化率为一个单位时，在这个线圈中产生的感应电动势等于该线圈的自感系数。

3. 互感系数和自感系数的计算:

$$\Psi = LI \Rightarrow L = \frac{\Psi}{I}$$

$$\phi_{12} = M_{12}I_1 \Rightarrow M = \frac{\phi_{12}}{I_1} = \frac{\phi_{21}}{I_2}$$



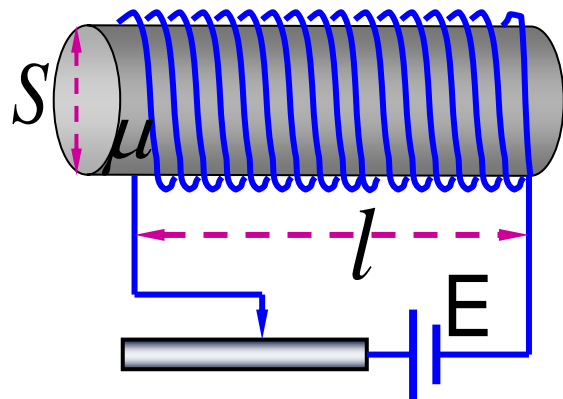
互感与自感的实际应用:

$$\left\{ \begin{array}{l} \varepsilon_{12} = -M_{12} \frac{dI_2}{dt} \Rightarrow M = -\frac{\varepsilon_{12}}{\frac{dI_1}{dt}} \\ \varepsilon_L = -L \frac{dI}{dt} \Rightarrow L = -\frac{\varepsilon_L}{\frac{dI}{dt}} \end{array} \right.$$

【例 9】已知两个共轴长直螺线管长为 l ，截面 S ，匝数 N_1 、 N_2 ，管内充满 μ 的磁介质，计算长直同轴螺线管的自感以及二者间的互感。

解：计算自感，假设电流 I 根据安培环路定理求得 $H \rightarrow B \rightarrow \Phi \rightarrow L$

$$B = \mu H = \mu n I \quad \psi = N \Phi = N B S = N \mu \frac{N}{l} I S$$



$$L = \frac{\psi}{I} = \mu \frac{N^2}{l} S$$

$$n = N/l \quad V = lS$$

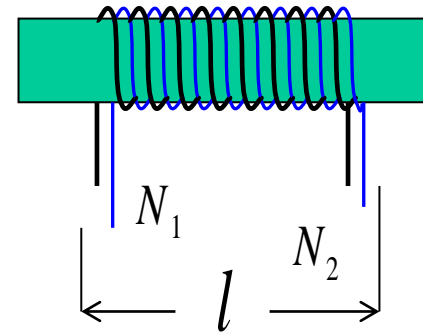
螺线管的自感 $\therefore L = \mu n^2 V$

(一般情况非理想线圈，可由实验上可用公式 $\varepsilon_L = -L \frac{dI}{dt}$ 测量自感 L)

计算互感的一般方法：

$$I_1 \rightarrow B_1 \rightarrow \Phi_{12} \rightarrow M = \frac{\Phi_{12}}{I_1}$$

$$\because B_1 = \mu n_1 I_1$$



线圈1产生的磁场通过线圈2的磁通链数

$$\Psi_{12} = N_2 \Phi_{12} = N_2 B_1 S = N_2 \left(\mu \frac{N_1}{l} I_1 S \right) \underline{l} = \boxed{\mu n_1 n_2 V} I_1 = M_{12} I_1$$

同理可得： $\Psi_{21} = N_1 \Phi_{21} = N_1 \left(\mu \frac{N_2}{l} I_2 S \right) = \boxed{\mu n_2 n_1 V} I_2 = M_{21} I_2$

$$\therefore \boxed{M = M_{21} = M_{12}}$$

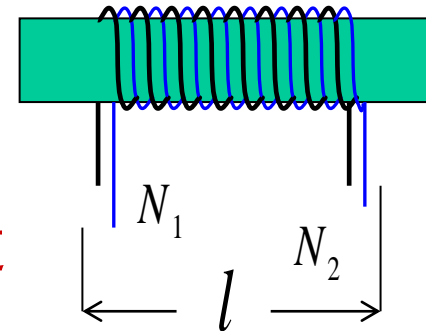
单位：亨利 (H)

4. 同轴螺旋管的互感系数和自感系数的关系

已知参数 l 、匝数分别为 N_1 、 N_2 ， μ $M = M_{21} = M_{12} = \mu n_1 n_2 V$

由无限长直螺线管的自感系数可知

$$L_1 = \mu n_1^2 V \quad L_2 = \mu n_2^2 V$$



$\therefore M = \sqrt{L_1 L_2}$ 无漏磁—即彼此磁场完全穿过

有漏磁: $M = k\sqrt{L_1 L_2} \quad 0 \leq k \leq 1$

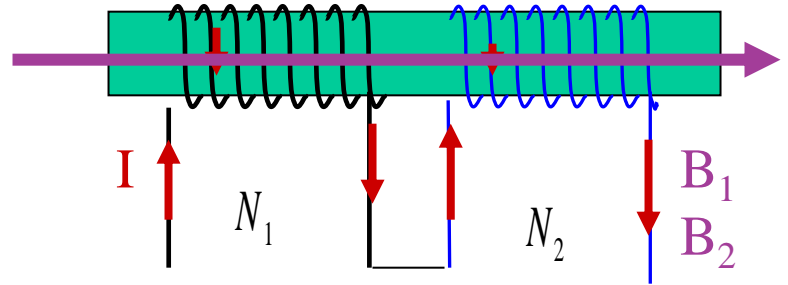
耦合系数 k 与线圈的相对位置密切相关，连接方式不能唯一确定互感。

5. 同轴线圈的连接（线圈总自感）

顺接：增大总自感 $L = L_1 + L_2 + 2M$

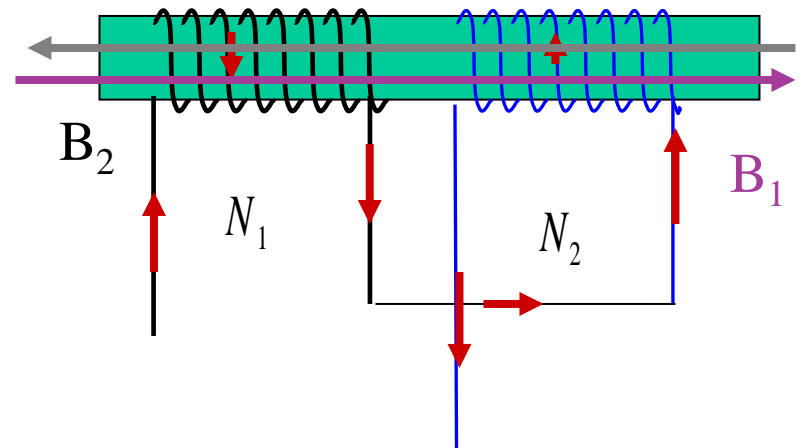
$$\mathcal{E}_i = \mathcal{E}_{L_1} + \mathcal{E}_{M_{21}} + \mathcal{E}_{L_2} + \mathcal{E}_{M_{12}}$$

$$= - \left(L_1 \frac{dI}{dt} + M \frac{dI}{dt} + L_2 \frac{dI}{dt} + M \frac{dI}{dt} \right) = - (L_1 + L_2 + 2M) \frac{dI}{dt}$$



反接：减小总自感 $L = L_1 + L_2 - 2M$

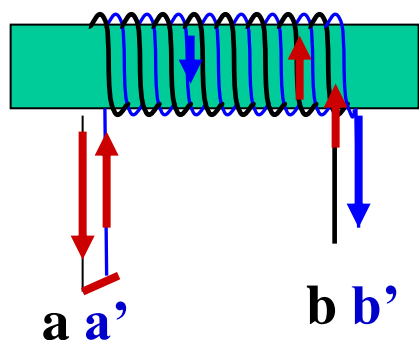
假设无漏磁 $L = L_1 + L_2 \pm 2\sqrt{L_1 L_2}$



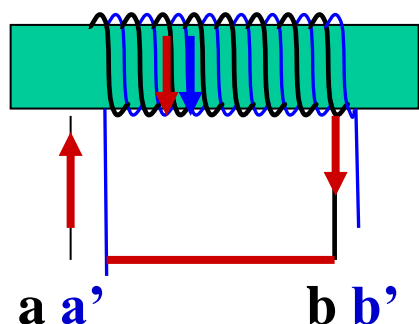
【例 10】如图，纸筒上绕有两个相同线圈（同轴）

$L_1=L_2=0.05H$ ，求总自感：1) a和a'相接， $L_{bb'}$ ；2)

a'和b相接， $L_{ab'}$ ；3) aa'相接，bb'相接。

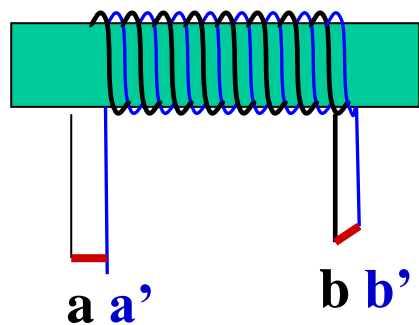


解：反接 $L=L_1+L_2-2\sqrt{L_1L_2}=0$



顺接 $L=L_1+L_2+2\sqrt{L_1L_2}=0.20H$

并联 $\varepsilon = \varepsilon_{ab} = \varepsilon_{a'b'}$



$$\varepsilon = -\left(L \frac{dI_1}{dt} + M \frac{dI_2}{dt} \right) = -2L \frac{dI_1}{dt}$$

$$= -2L \frac{d}{dt} \left(\frac{I}{2} \right) = -L \frac{dI}{dt}$$

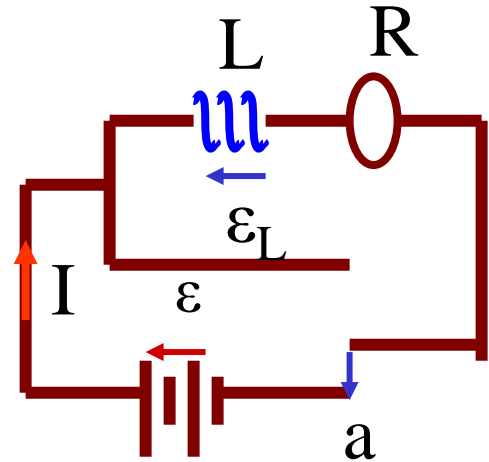
$$L=0.05H$$

6. RL 电路暂态过程

RL 电路暂态过程——自感电路中电流的增长和衰减

A回路 $\mathcal{E} + \mathcal{E}_L = Ri$ $\mathcal{E} - L \frac{di}{dt} = Ri$

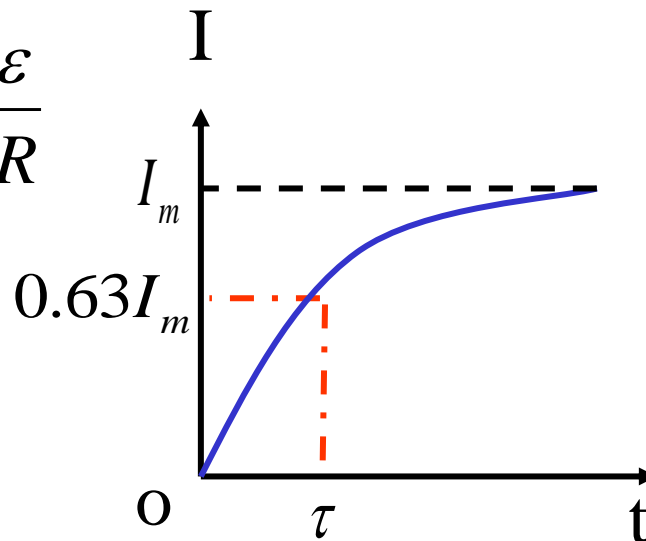
$$\int_0^I \frac{di}{\frac{\mathcal{E}}{R} - i} = \int_0^t \frac{R}{L} dt \Rightarrow I = \frac{\mathcal{E}}{R} (1 - e^{-\frac{R}{L}t})$$



当 $t \rightarrow \infty$ 时 $I = I_m = \frac{\mathcal{E}}{R}$

$t = \tau = \frac{L}{R}$ 时

$$I = \frac{\mathcal{E}}{R} (1 - \frac{1}{e}) = 0.63 I_m$$

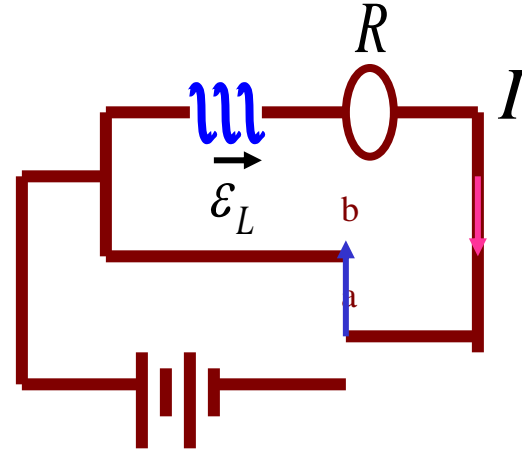


(LR 电路暂态过程)

τ —— LR 回路的时间常数或弛豫时间

B回路: $\varepsilon_L = iR \quad -L \frac{di}{dt} = iR$

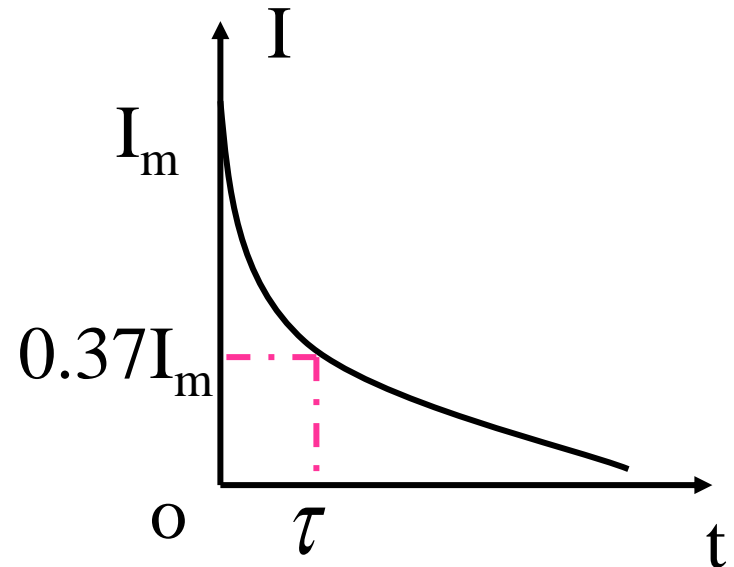
$$\int_{I_m}^I \frac{di}{i} = -\int_0^t \frac{R}{L} dt \quad \Rightarrow \quad I = \frac{\varepsilon}{R} e^{-\frac{R}{L}t}$$



当: $t = 0$ 时, $I = I_m = \frac{\varepsilon}{R}$

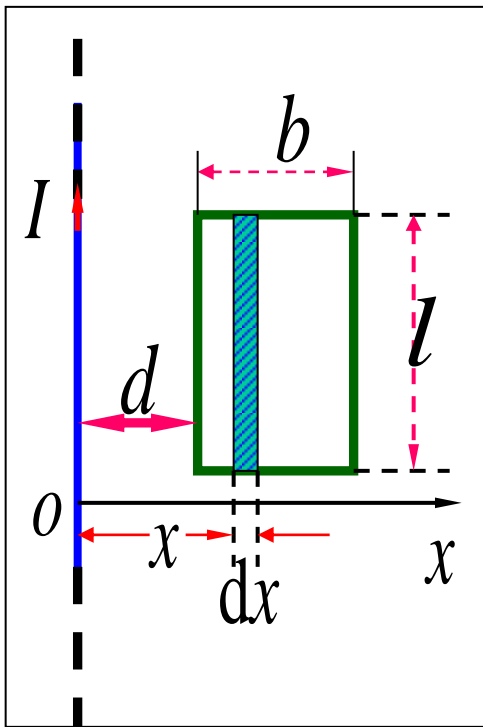
$t \rightarrow \infty$ 时, $I \rightarrow 0$

$t = \frac{L}{R} = \tau$ 时, $I = 0.37I_m$



【例 11】 在磁导率为 μ 的均匀无限大的磁介质中，一无限长直导线与一宽长分别为 b 和 l 的矩形线圈共面，直导线与矩形线圈的一侧平行，且相距为 d 。求二者的互感系数。

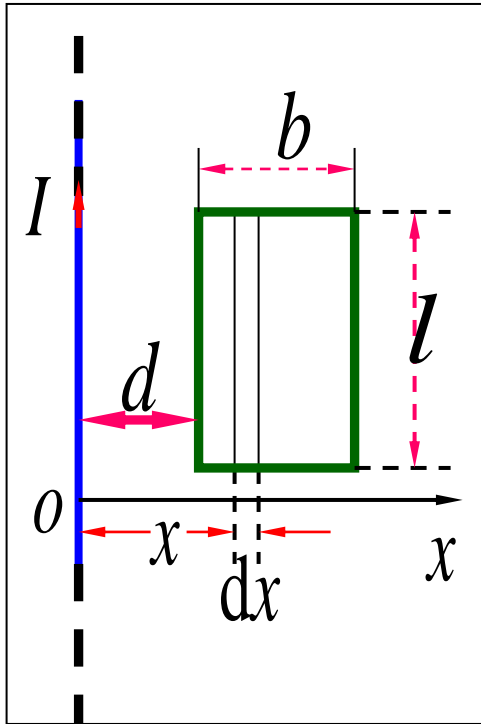
解 设长直导线通电流 I



$$B = \frac{\mu I}{2\pi x}$$

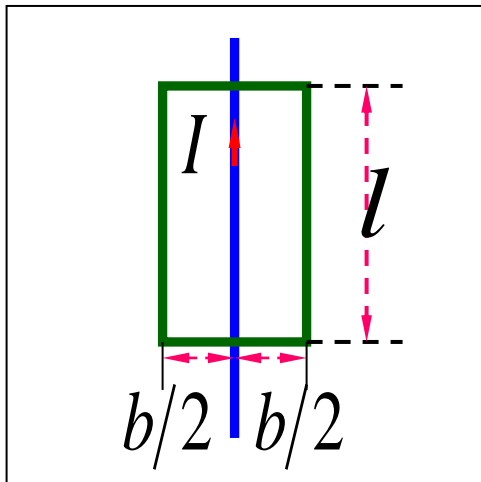
$$d\Phi = \vec{B} \cdot d\vec{s} = \frac{\mu I}{2\pi x} l dx$$

$$\Phi = \int_d^{d+b} \frac{\mu I}{2\pi x} l dx$$



$$\Phi = \int_d^{d+b} \frac{\mu I}{2\pi x} l dx = \frac{\mu I l}{2\pi} \ln\left(\frac{b+d}{d}\right)$$

$$M = \frac{\Phi}{I} = \frac{\mu l}{2\pi} \ln\left(\frac{b+d}{d}\right)$$



若导线如左图放置，根据对称性可知

$$\Phi = 0$$

得 $M = 0$

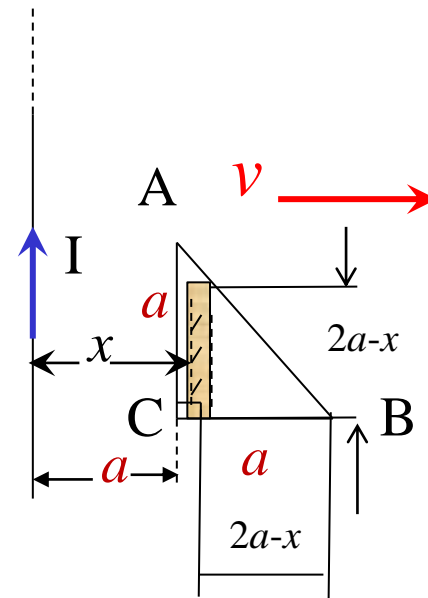
【例 12】 如图，一无限长直导线与一边长为 a 三角形线圈共面，直导线电流强度为 I ，线圈在平面内以速度 v 沿垂直导线方向离开，求如图时刻**互感系数 M 以及线圈的感应电动势 ε** 。

解： 设长直导线通电流 I ，三角形线圈的磁通量为：

$$\Phi_{\text{互}12} = \int_S \vec{B} \cdot d\vec{S} = \int_a^{2a} \boxed{\frac{\mu_0 I_1}{2\pi x} (2a - x) dx}$$

$$= \frac{\mu_0 I_1 a}{2\pi} (2 \ln 2 - 1)$$

互感系数： $M = \Phi_{\text{互}12} / I_1$



长直导线与三角形线圈如图位置互感系数： $M = \frac{\mu_0 a}{2\pi} (2 \ln 2 - 1)$

解法1：感应动生电动势定义求解

$\vec{v} \times \vec{B}$ 之后的方向与路径 CA、AB、BA 积分的方向确定动生电动势积分中“点乘”的夹角，分别是 0° 、 90° 、 135° 的余弦。

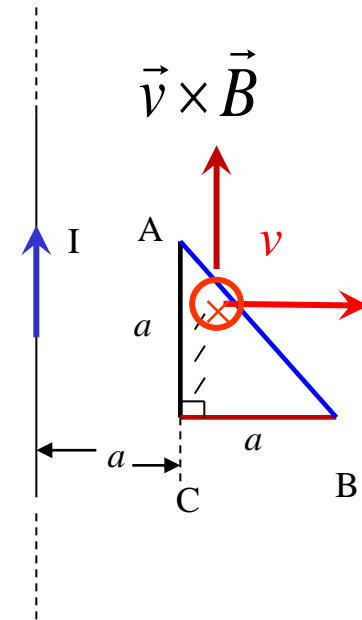
导线CA动生电动势：

$$\mathcal{E}_{CA} = Bav = \frac{\mu_0 I}{2\pi a} \cdot v \cdot a = \frac{\mu_0 I v}{2\pi}$$

导线BC动生电动势： $\mathcal{E}_{BC} = 0$

导线AB动生电动势为：

$$\begin{aligned} \mathcal{E}_{AB} &= \int_L (\vec{v} \times \vec{B}) \cdot d\vec{l} = \int_L \frac{\mu_0 I}{2\pi x} v \cos \frac{3}{4} \pi dx \\ &= \int_a^{2a} -\frac{\mu_0 I}{2\pi x} v dx = -\frac{\mu_0 I v}{2\pi} \ln 2 \end{aligned}$$



线圈ABCA动生电动势为： $\mathcal{E}_{ABC} = \mathcal{E}_{CA} + \mathcal{E}_{AB} + \mathcal{E}_{BC} = \frac{\mu_0 I v}{2\pi} (1 - \ln 2)$

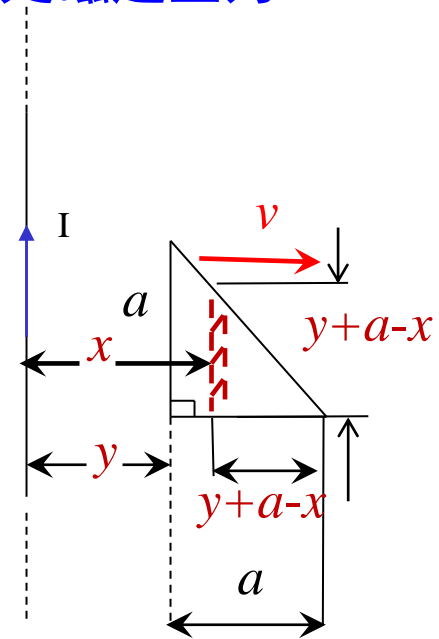
解法2： 法拉第定律求解： $\mathcal{E} = - \frac{d\Phi_{\text{互12}}}{dt}$

无限长直导线磁场在三角形线圈位于位置 y 处磁通量为：

$$\Phi_{\text{互12}} = \int_S \vec{B} \cdot d\vec{S} = \int_y^{y+a} \frac{\mu_0 I}{2\pi x} (y + a - x) dx$$

$$= \frac{\mu_0 I}{2\pi} \left[(y + a) \ln \frac{y+a}{y} - a \right]$$

$$\mathcal{E} = - \frac{d\Phi_{\text{互12}}}{dt} = - \frac{d\Phi_{\text{互12}}}{dy} v$$



$$= - \frac{\mu_0 I}{2\pi} \left[\ln \frac{y+a}{y} + (y + a) \ln \frac{y+a}{y} \left(- \frac{a}{y^2} \right) \right] v = - \frac{\mu_0 I}{2\pi} \left[\ln \frac{y+a}{y} - \frac{a}{y} \right] v$$

线圈ABCA动生电动势为 $\mathcal{E}|_{y=a} = \frac{\mu_0 I v}{2\pi} (1 - \ln 2)$

解法 3： 互感方法求解：

互感磁通量与电流强度的关系： $\Phi_{\underline{12}} = MI_1$

长直线与三角形线圈的互感系数： $M = \frac{\Phi_{\underline{12}}}{I_1}$

穿过线圈ABCA的磁通量为：

$$\Phi_{\underline{12}} = \frac{\mu_0 I_1}{2\pi} \left[(y+a) \ln \frac{y+a}{y} - a \right]$$

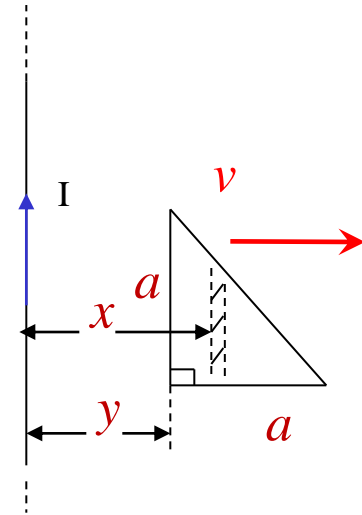
无限长直导线与线圈ABCA任意位置y互感为： $M = \frac{\mu_0}{2\pi} \left[(y+a) \ln \frac{y+a}{y} - a \right]$

互感电动势为： $\mathcal{E} = -\frac{d\Phi_{\underline{12}}}{dt} = -\frac{d(MI_1)}{dt} = -M \frac{dI_1}{dt} - I_1 \frac{dM}{dt} = -I \frac{dM}{dt}$

$$\frac{dM}{dt} = \frac{dM}{dy} \frac{dy}{dt} = \frac{\mu_0 v}{2\pi} \left[\ln \frac{y+a}{y} + (y+a) \frac{y}{y+a} \left(-\frac{a}{y^2} \right) \right]$$

线圈ABCA动生电动势为：

$$\mathcal{E}_M \Big|_{y=a} = -I \frac{dM}{dt} \Big|_{y=a} = \frac{\mu_0 I v}{2\pi} (1 - \ln 2)$$





【例 13】截面为矩形的螺绕环共 N 匝，尺寸如图所示，图下半部两矩形表示螺绕环的截面，在螺绕环的轴线上另有一无限长直导线穿过。求螺绕环的自感系数，长直导线和螺绕环的互感系数。

解：计算自感的一般方法： $i \rightarrow B \rightarrow \Phi_{\text{自}} \rightarrow L$

螺绕环通过电流 I ，由其对称性来分析磁场对称性；

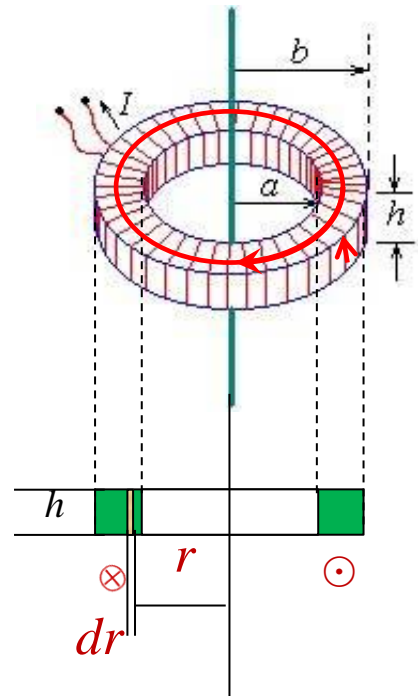
应用安培环路定理 $\oint_L \vec{B} \cdot d\vec{l} = \mu_0 NI$

螺绕环内 $a \leq r \leq b$ $2\pi r B = \mu_0 NI$ $B = \frac{\mu_0 NI}{2\pi r}$

磁场穿过螺绕环自身的磁通量为：

$$\Phi_{\text{自}} = \int_a^b \frac{\mu_0 NI}{2\pi r} \boxed{Nh dr} = \frac{\mu_0 N^2 h I}{2\pi} \ln \frac{b}{a}$$

螺绕环的自感系数为： $L = \frac{\Phi_{\text{自}}}{I} = \frac{\mu_0 N^2 h}{2\pi} \ln \frac{b}{a}$



计算互感的一般方法： $I_1 \rightarrow B_1 \rightarrow \Phi_{12} \rightarrow M = \frac{\Phi_{12}}{I_1}$

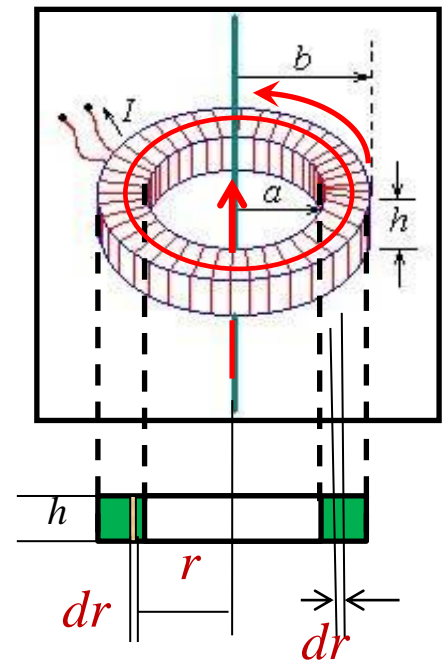
无限长直导线在空间的磁感应强度为： $B = \frac{\mu_0 I_1}{2\pi r}$

磁场穿过螺绕环的磁通量：

$$\Phi_{12} = \int_a^b \frac{\mu_0 I_1}{2\pi r} \boxed{N h dr} = \frac{\mu_0 N h I_1}{2\pi} \ln \frac{b}{a}$$

长直线与螺绕环的互感系数为：

$$M = \frac{\Phi_{12}}{I_1} = \frac{\mu_0 N h}{2\pi} \ln \frac{b}{a}$$





【练习 7】如图所示，一根长直导线与一等边三角形线圈 ABC 共面放置，三角形高为 h ，AB 边平行于直导线，且与直导线的距离为 b ，三角形线圈中通有电流 $i = I_0 \sin \omega t$ ，电流 i 的正方向如箭头所示，求直导线中的感生电动势。

解：长直线通过电流 I 穿过三角形线圈中的磁通量

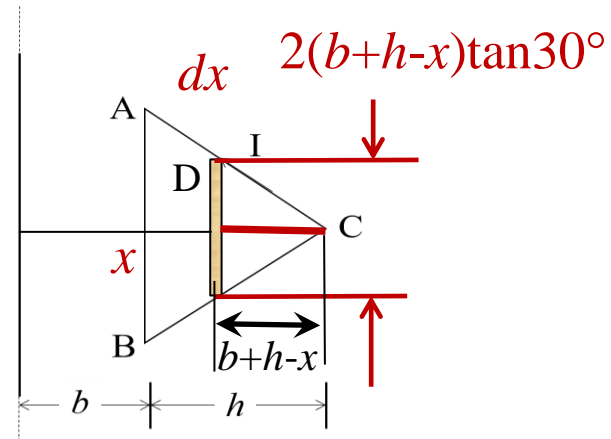
$$\Phi_{\text{互}} = \int_b^{b+h} \frac{\mu_0 I}{2\pi x} 2(b+h-x) \tan 30^\circ dx = \frac{\sqrt{3}\mu_0 I (b+h)}{3\pi} \ln \frac{b+h}{b} - \frac{\sqrt{3}\mu_0 I h}{3\pi}$$

长直线与三角形线圈中的互感

$$M = \frac{\Phi_{12}}{I_1} = \frac{\sqrt{3}\mu_0}{3\pi} \left((b+h) \ln \frac{b+h}{b} - h \right) \text{ 由于互感, } \mathbf{M_{12} = M_{21}}$$

三角形线圈流过电流 $i = I_0 \sin \omega t$ ，直导线中的感生电动势为：

$$\varepsilon = -M \frac{di}{dt} = -\frac{\sqrt{3}\mu_0}{3\pi} \left((b+h) \ln \frac{b+h}{b} - h \right) (\omega I_0 \cos \omega t) = -\frac{\sqrt{3}\mu_0 \omega I_0 \cos \omega t}{3\pi} \left((b+h) \ln \frac{b+h}{b} - h \right)$$



§ 12.4 磁场的能量

1. 线圈的自感磁能:

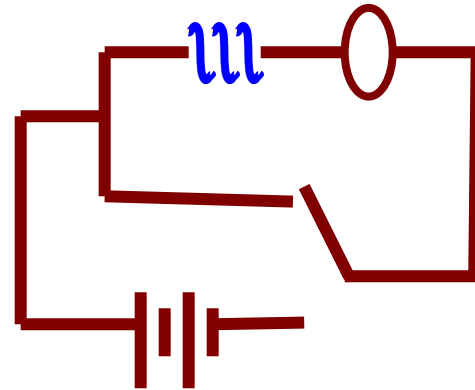
电容器充电以后储存了电场能量，当极板电压为U时储电场能为：

$$W_C = \frac{1}{2}CU^2$$

$$i: \quad I \rightarrow 0 \quad \varepsilon_L = -L \frac{di}{dt}$$

$$\varepsilon_L = iR \quad (\times idt)$$

$$\varepsilon_L idt = i^2 R dt$$



$$A_L = \int \varepsilon_L idt = \int_I^0 -L \frac{di}{dt} \cdot idt = \frac{1}{2}LI^2 = W_m$$

自感为 L 的线圈，通有电流 I 所储存的磁能等于这电流消失时自感电动势所做的功。

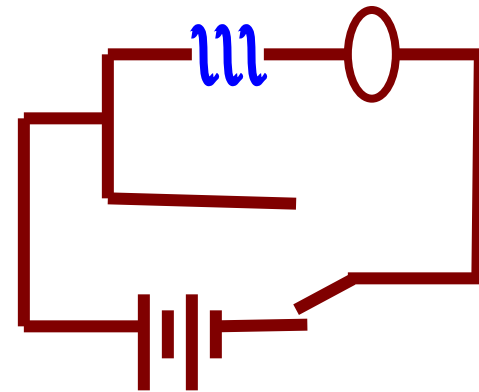
$$\varepsilon + \varepsilon_L = iR \quad \Rightarrow \varepsilon = -\varepsilon_L + iR \quad (\times idt)$$

$$\varepsilon idt = -\varepsilon_L idt + i^2 R dt$$

电源反抗自感电动势所做的功

$$i: \quad 0 \rightarrow I \quad \varepsilon_L = -L \frac{di}{dt}$$

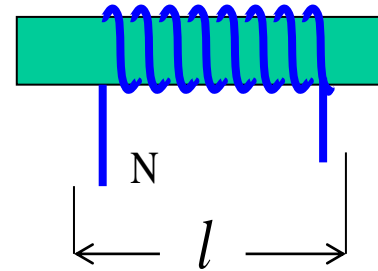
$$A_L = \int -\varepsilon_L idt = \int_0^I L \frac{di}{dt} \cdot idt = \frac{1}{2} LI^2$$



线圈储存的磁能等于通电建立磁场过程中，电源反抗自感电动势所做的功。

线圈磁能的自感表示: $W_m = \frac{1}{2} LI^2$ ($I = \frac{\varepsilon}{R}$)

2. 磁场的能量



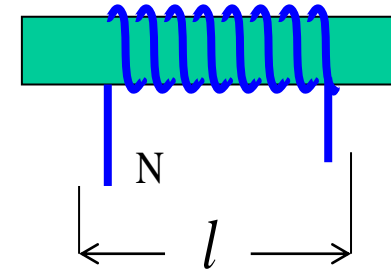
螺线管的自感: $L = \mu \frac{N^2}{l} S$ $\because B = \mu n I = \mu \frac{N}{l} I$

螺线管内的磁能的磁场表示:

$$W_m = \frac{1}{2} LI^2 = \frac{1}{2} \left(\mu \frac{N^2}{l} S \right) \left(\frac{B}{\mu N/l} \right)^2 = \frac{B^2}{2\mu} V$$

定义磁场的能量密度：

$$\omega_m = \frac{W_m}{V} = \frac{B^2}{2\mu} = \frac{1}{2} \vec{B} \cdot \vec{H}$$



磁场所储存的总能量：（积分应遍及磁场存在的全空间）

$$W_M = \iiint w_m dV = \iiint \frac{1}{2} \vec{H} \cdot \vec{B} dV$$

• 电磁场的总能量密度：

$$\omega = \frac{1}{2} (\vec{E} \cdot \vec{D} + \vec{B} \cdot \vec{H})$$

电磁场的总能量：

$$W = \iiint_V \frac{1}{2} (\vec{E} \cdot \vec{D} + \vec{B} \cdot \vec{H}) \cdot dV$$



截面为矩形的螺绕环共 N 匝，尺寸如图所示，图下半部两矩形表示螺绕环的截面，在螺绕环的轴线上另有一无限长直导线穿过。若在螺绕环内通以稳恒电流 I ，求螺绕环内存储的磁能。

应用安培环路定理 $\oint_L \vec{B} \cdot d\vec{l} = \mu_0 NI$

螺绕环内 $a \leq r \leq b$ $2\pi r B = \mu_0 NI$ $B = \frac{\mu_0 NI}{2\pi r}$

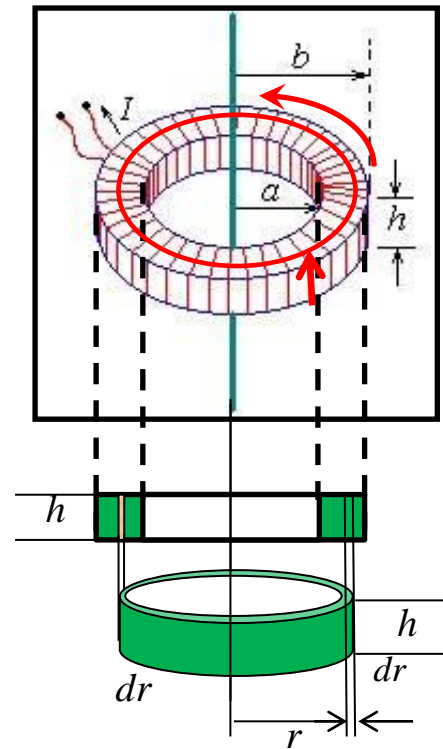
在螺绕环内取相同称轴、相同高度 h 、厚度 dr 的螺绕环薄筒，薄筒内部能量密度相同：

$$w = \frac{B^2}{2\mu_0} = \frac{1}{2\mu_0} \left(\frac{\mu_0 NI}{2\pi r} \right)^2 = \frac{\mu_0 N^2 I^2}{8\pi^2 r^2}$$

螺绕环内存储磁能为：

$$W = \iiint_V w dV = \int_a^b \frac{\mu_0 N^2 I^2}{8\pi^2 r^2} \boxed{h 2\pi r dr} = \int_a^b \frac{\mu_0 N^2 I^2}{4\pi r} h dr = \frac{\mu_0 h N^2 I^2}{4\pi} \ln \frac{b}{a}$$

使用计算线圈磁场能量的方法 $W_L = \frac{LI^2}{2}$ 螺绕环的自感系数为 $L = \frac{\mu_0 N^2 h}{2\pi} \ln \frac{b}{a}$

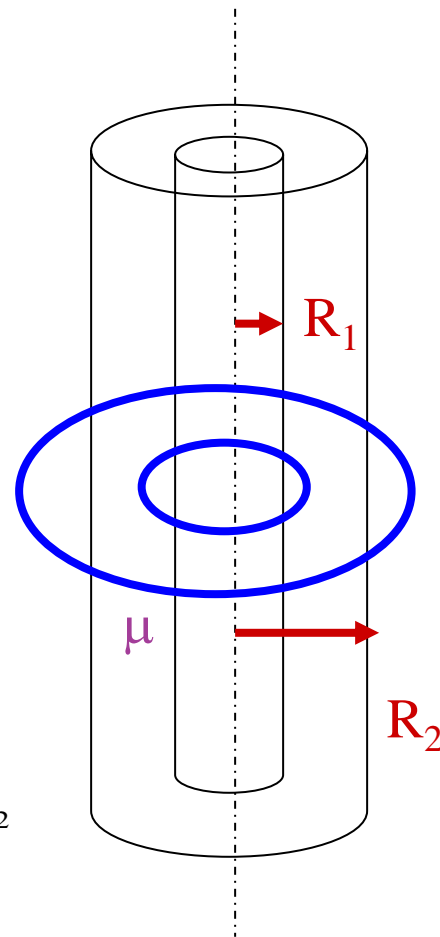


【例 14】如图同轴电缆，中间充以磁介质 μ ，芯线与圆筒上的电流 I 大小相等、方向相反，已知内外筒的半径 R_1 和 R_2 （即金属芯线内的磁场可忽略），求单位长度同轴电缆的磁能和自感。

解 由安培环路定律可求 H

$$\left\{ \begin{array}{ll} r < R_1, & H = 0 \\ R_1 < r < R_2, & H = \frac{I}{2\pi r} \\ r > R_2, & H = 0 \end{array} \right.$$

$$R_1 < r < R_2 \quad \text{磁能密度} \quad w_m = \frac{1}{2} \mu H^2 = \frac{1}{2} \mu \left(\frac{I}{2\pi r} \right)^2$$



则磁能密度 $R_1 < r < R_2$ $w_m = \frac{1}{2} \mu \left(\frac{I}{2\pi r} \right)^2 = \frac{\mu I^2}{8\pi^2 r^2}$

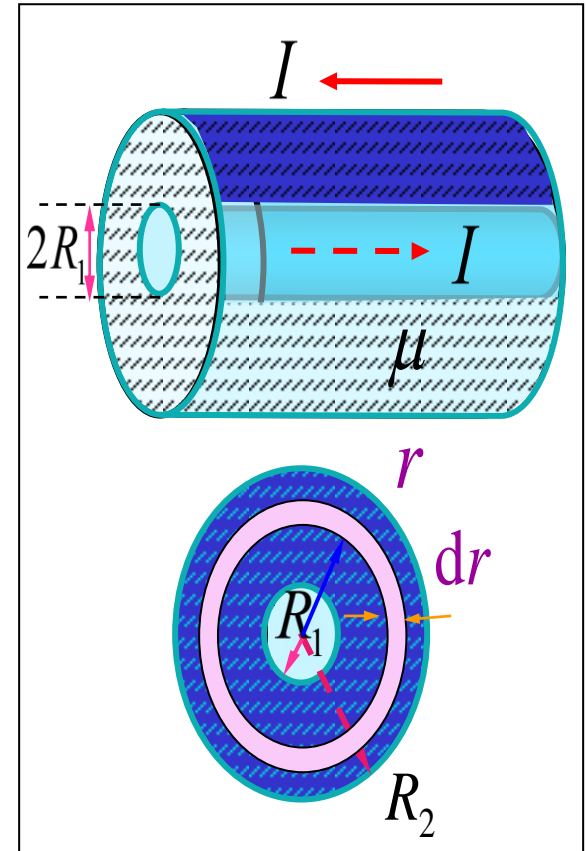
$$W_m = \int_V w_m dV = \int_V \frac{\mu I^2}{8\pi^2 r^2} dV$$

单位长度壳层体积 $dV = 2\pi r dr \cdot 1$

$$W_m = \int_{R_1}^{R_2} \frac{\mu I^2}{4\pi r} dr = \frac{\mu I^2}{4\pi} \ln \frac{R_2}{R_1}$$

$$W_m = \frac{1}{2} LI^2$$

$$L = \frac{\mu}{2\pi} \ln \frac{R_2}{R_1}$$



磁通量方法计算自感: $B = \frac{\mu I}{2\pi r}$

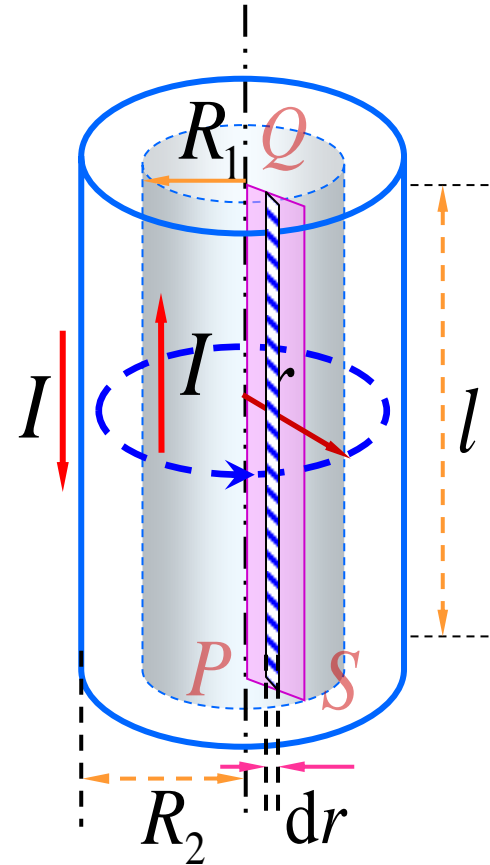
$$d\varphi = \vec{B} \cdot d\vec{S} = B dS = B l dr$$

$$\varphi = \int_{R_1}^{R_2} \frac{\mu I}{2\pi r} l dr = \frac{\mu I l}{2\pi} \ln \frac{R_2}{R_1}$$

$$L = \frac{\varphi}{I} = \frac{\mu l}{2\pi} \ln \frac{R_2}{R_1}$$

单位长度的自感

$$L_0 = \frac{L}{l} = \frac{\mu}{2\pi} \ln \frac{R_2}{R_1}$$



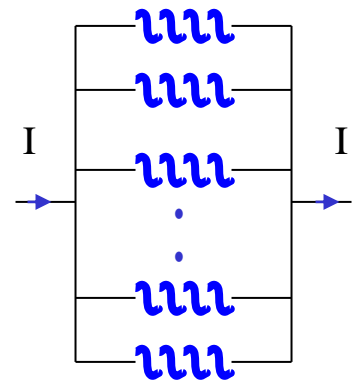
【练习 8】 N 个完全相同的长直线圈相互并联，如图放置（不计它们之间的互感），每个线圈的自感为 L ，求此组合的总自感 L^*

解：设总电流为 I ，每一个支路电流为 I/N ，总磁能为：

$$W_M = \frac{1}{2} L^* I^2$$

$$W_M = n \cdot \frac{1}{2} L I'^2 = n \cdot \frac{1}{2} L \left(\frac{I}{n} \right)^2 = \frac{1}{2n} L I^2$$

$$L^* = \frac{L}{n}$$

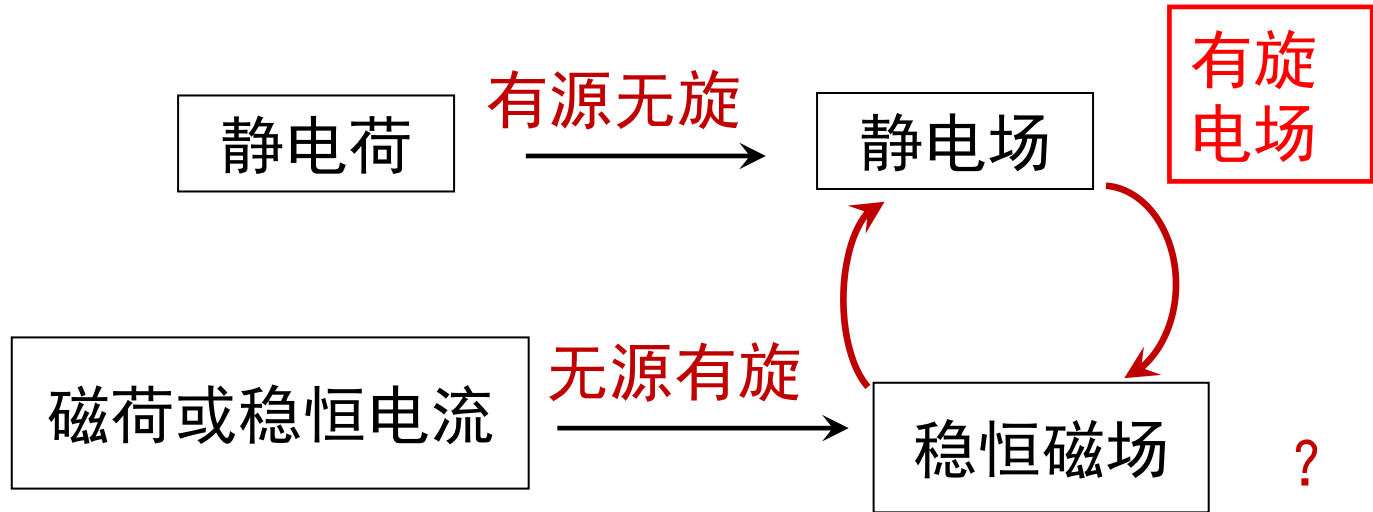


讨论：

- 1、 N 个完全相同的感应线圈“并联”后，线圈之间没有互感的条件下，线圈的总自感为一个线圈自感的 N 分之一，否则，其他放置则会有不同的互感结果；
- 2、感应线圈的串并联与电阻和电容的串并联不同，后者只取决于线路的连接；而前者不仅取决于线圈连接，还取决于线圈的放置方式，线圈相同的连接，不同的放置将导致它们之间的磁场方向不同，方向不同一定会有不同的互感。

§ 12.5 电磁场的理论基础

1. 静电场、稳恒磁场、感应电场的电磁理论的回顾



$$\oiint_S \vec{D} \cdot d\vec{S} = \sum_i q_{i0} = \iiint_V \rho dV \quad \text{—— 电学高斯定理}$$

$$\oint \vec{E} \cdot d\vec{l} = - \iint \frac{\partial \vec{B}}{\partial t} \cdot d\vec{S} \quad \text{—— 法拉第电磁感应定律}$$

$$\oiint \vec{B} \cdot d\vec{S} = 0 \quad \text{—— 磁学高斯定理}$$

$$\oint \vec{H} \cdot d\vec{l} = \sum I_c = \iint \vec{j}_c \cdot d\vec{S} \quad \text{—— 磁场安培环路定理}$$

2. 位移电流 (displacement current)

静电场

$$\oiint_S \vec{D} \cdot d\vec{S} = Q_0$$

$$\oint_L \vec{E}_e \cdot d\vec{l} = 0$$

稳恒磁场

$$\oiint_S \vec{B} \cdot d\vec{S} = 0$$

$$\oint \vec{H} \cdot d\vec{l} = \sum I_c = \iint \vec{j}_c \cdot d\vec{S}$$

感生电场

$$\oiint_S \vec{E}_i \cdot d\vec{S} = 0$$

$$\oint_L \vec{E}_i \cdot d\vec{l} = -\frac{d\phi_m}{dt} = -\oiint \frac{\partial \vec{B}}{\partial t} \cdot d\vec{S}$$

$$\oint_L \vec{E} \cdot d\vec{l} = -\frac{d\phi_m}{dt}$$

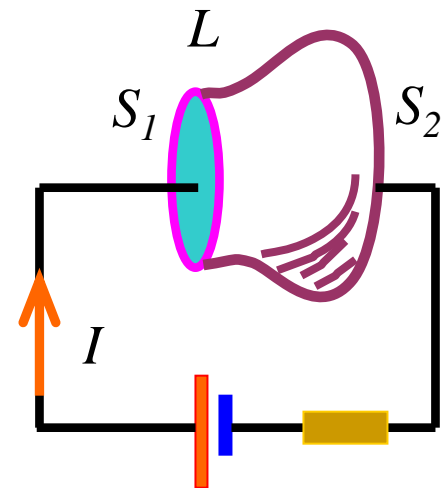
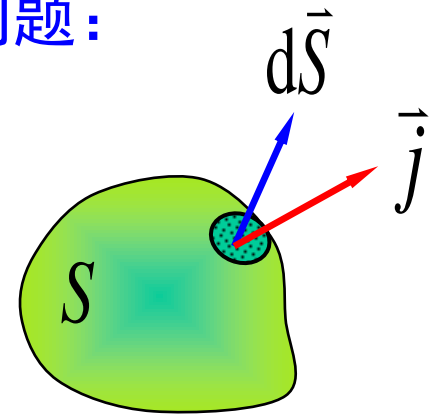
非稳恒条件下磁场安培环路定理遇到的问题：

电流强度与电流密度： $I = \int_S \vec{j} \cdot d\vec{S}$

电流连续性方程： $\oiint_S \vec{j} \cdot d\vec{S} = -\frac{dq}{dt}$ —电荷守恒定律

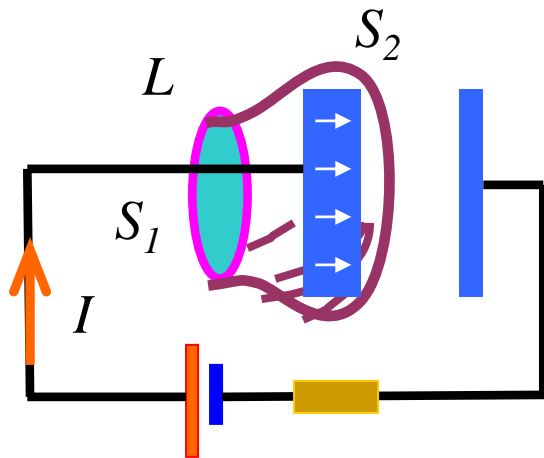
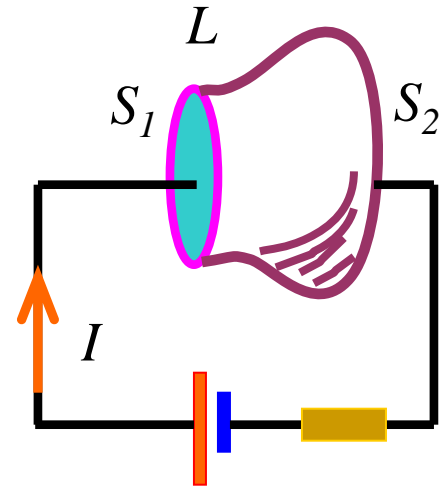
稳恒条件下： $\oiint_S \vec{j} \cdot d\vec{S} = 0$

$$\int_{S_2} \vec{j} \cdot d\vec{S} - \int_{S_1} \vec{j} \cdot d\vec{S} = 0 \Rightarrow \int_{S_2} \vec{j} \cdot d\vec{S} = \int_{S_1} \vec{j} \cdot d\vec{S} = I$$



$$\oint_L \vec{H} \cdot d\vec{l} = \sum_i I_i \quad \text{——安路环路定理成立}$$

考虑电容器充放电时的磁感应
强度沿任何闭合回路L的线积分：



$$\int_{S_1} \vec{j} \cdot d\vec{S} = I$$

$$\int_{S_2} \vec{j} \cdot d\vec{S} = 0$$

非稳恒条件下

$$\frac{dq}{dt} = \oiint_S \vec{j} \cdot d\vec{S} \neq 0$$

非稳恒条件下磁场安路环路定理不成立

$$\oint_L \vec{H} \cdot d\vec{l} \neq \sum_i I_i$$

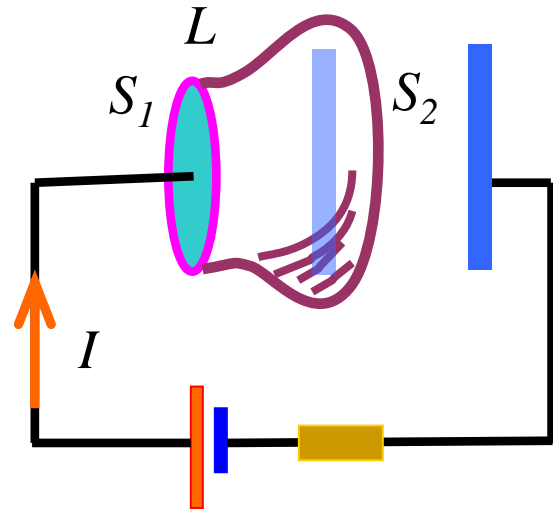
1861年麦克斯韦注意到充电时，极板间电场是变化的，

- 1) 按对应原理有“电流”存在（不是传导电流）
- 2) 穿过 S_1 面的电流在极板上积累应满足电流连续性原理

$$\oint_S \vec{j} \cdot d\vec{S} = -\frac{dq}{dt}$$

$$\oint_S \vec{D} \cdot d\vec{S} = q$$

$$\frac{dq}{dt} = \frac{d}{dt} \oint_S \vec{D} \cdot d\vec{S} = \oint_S \frac{\partial \vec{D}}{\partial t} \cdot d\vec{S}$$



$$\oint_S \vec{j} \cdot d\vec{S} = -\oint_S \frac{\partial \vec{D}}{\partial t} \cdot d\vec{S} \rightarrow \oint_S \left(\vec{j} + \frac{\partial \vec{D}}{\partial t} \right) \cdot d\vec{S} = 0$$

在非稳恒时，传导电流不一定连续 $\left(\vec{j} + \frac{\partial \vec{D}}{\partial t} \right)$ 永远是连续的



麦克斯韦的**位移电流**假说：

位移电流密度矢量： $\vec{j}_d = \frac{\partial \vec{D}}{\partial t}$

在**变化的电场**中存在着“**电流**”，
它和传导电流一样能**激发磁场**。

全电流：

$$I_s = \iint_S (\vec{j} + \vec{j}_d) \cdot d\vec{S}$$

位移电流

安路环路定理成立：

$$\oint_L \vec{H} \cdot d\vec{l} = I + I_d$$

物理思想是变化的
电场激发磁场。

$$\vec{D} \equiv \epsilon_0 \vec{E} + \vec{P}$$

传导电流

变化的电场将
激发涡旋磁场

在交变电场中电
介质的反复极化

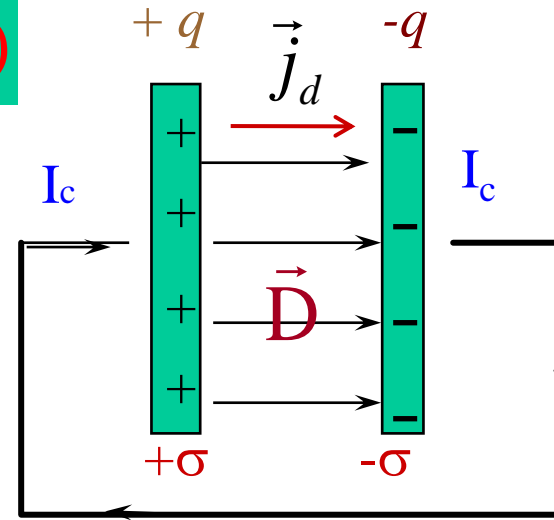
$$I_d \equiv \frac{d\phi_D}{dt} = \iint_S \frac{\partial \vec{D}}{\partial t} \cdot d\vec{S} = \iint_S \epsilon_0 \frac{\partial \vec{E}}{\partial t} \cdot d\vec{S} + \iint_S \frac{\partial \vec{P}}{\partial t} \cdot d\vec{S}$$

平板电容器中 $\frac{\partial \vec{D}}{\partial t} \sim \vec{j}_c$ ($D = \sigma_0$)

充电时: $q \uparrow \Rightarrow \sigma \uparrow \Rightarrow D \uparrow$

$$\vec{j}_d = \frac{\partial \vec{D}}{\partial t} \quad \text{与 } D \text{ 的方向相同}$$

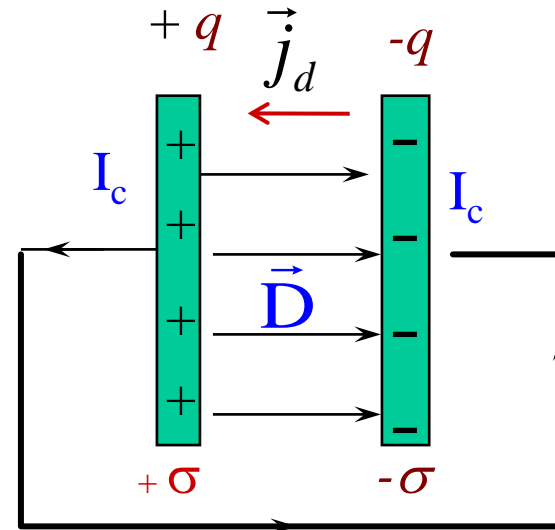
I_d 与 I_c 方向相同



放电时: $q \downarrow \Rightarrow \sigma \downarrow \Rightarrow D \downarrow$

$$\vec{j}_d = \frac{\partial \vec{D}}{\partial t} \quad \text{与 } D \text{ 的方向相反}$$

I_d 与 I_c 方向相同

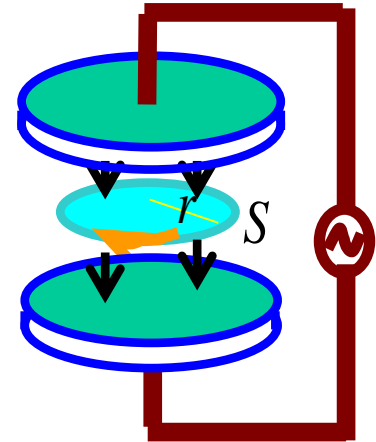


【例 15】 半径为5.0cm圆形平板电容器，设充电后电荷在极板上均匀分布，两极板间 $dE/dt=2.0 \times 10^{13} \text{V/ms}$.求：1) 两极板间的位移电流。2) 两极板间磁感应强度分布和极板边缘处磁感应强度。

解：(1) 位移电流强度
$$I_d \equiv \frac{d\phi_D}{dt} = \frac{d}{dt}(\vec{D} \cdot \vec{S})$$

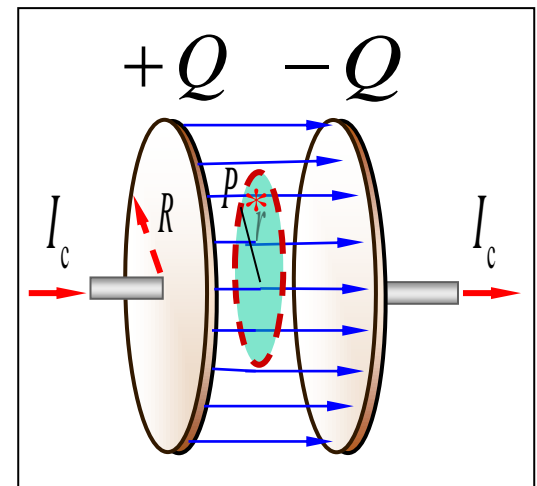
$$(\vec{D} = \epsilon_0 \vec{E}) = \frac{d}{dt}(\epsilon_0 E \pi R^2)$$

$$= \epsilon_0 \frac{dE}{dt} \pi R^2 = 1.4 \text{A}$$



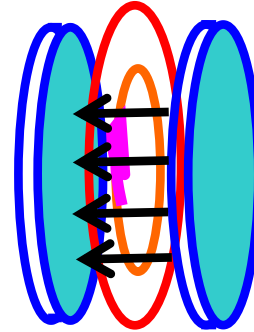
(2) 取以轴点为圆心，半径为 r 的圆为安培环路

$$\oint_L \vec{H} \cdot d\vec{l} = H 2\pi r = I_d$$



$$\oint_L \vec{H} \cdot d\vec{l} = H 2\pi r = I_d = \frac{d}{dt} (D\pi r^2)$$

$$\Rightarrow H = \frac{1}{2} \varepsilon_o r \frac{dE}{dt}$$



两极板间磁感应强度的分布

$$\mathbf{B} = \mu_o \mathbf{H} = \frac{\mu_o \varepsilon_o}{2} r \frac{dE}{dt} \propto r$$

极板边缘处的磁感应强度

$$B(R) = \frac{\mu_o \varepsilon_o}{2} R \frac{dE}{dt} = 5.6 \times 10^{-6} \text{ T}$$

【练习 9】 如图，平板电容器（忽略边缘效应）
充电过程中，下列表述正确的是：

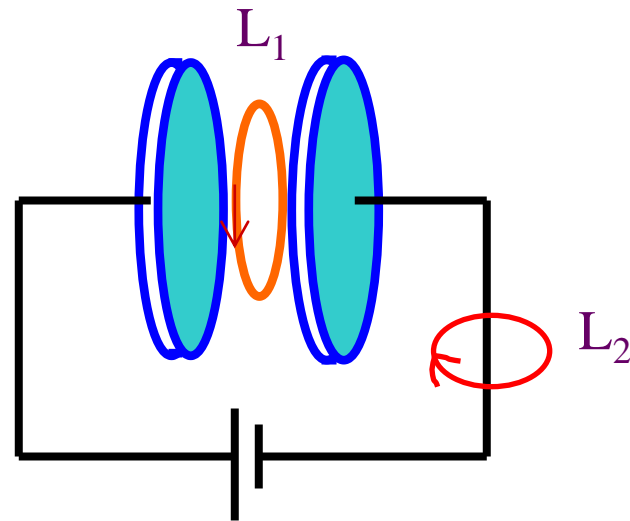
(A) $\oint_{L_1} \vec{H} \cdot d\vec{l} > \oint_{L_2} \vec{H} \cdot d\vec{l}$

(B) $\oint_{L_1} \vec{H} \cdot d\vec{l} = \oint_{L_2} \vec{H} \cdot d\vec{l}$

(C) $\oint_{L_1} \vec{H} \cdot d\vec{l} < \oint_{L_2} \vec{H} \cdot d\vec{l}$

(D) $\oint_{L_1} \vec{H} \cdot d\vec{l} = 0$

解：



【练习 10】如图，点电荷 q 以匀角速度 ω 逆时针、作 R 的圆周运动，设 $t = 0$ 时， q 在 $x_0 = R$ ， $y = 0$ ，则在圆心 O 点的位移电流密度：

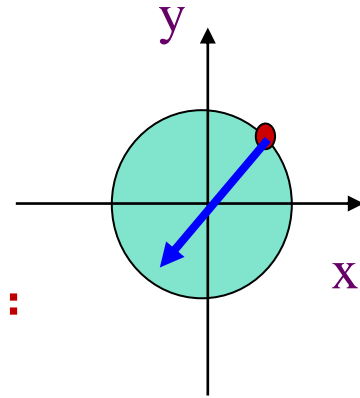
(A) $\frac{q\omega}{4\pi R^2} \sin \omega t \vec{i}$

(B) $\frac{q\omega}{4\pi R^2} \cos \omega t \vec{j}$

(C) $\frac{q\omega}{4\pi R^2} \vec{k}$

(D) ✓ $\frac{q\omega}{4\pi R^2} (\sin \omega t \vec{i} - \cos \omega t \vec{j})$

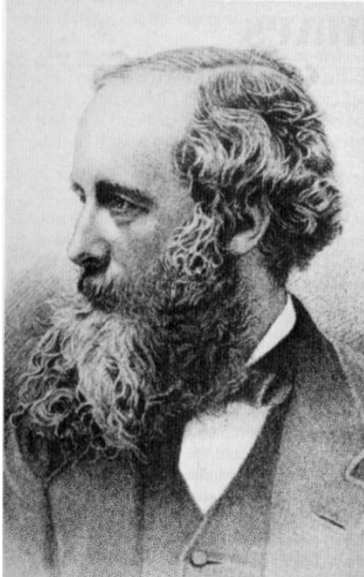
解： 电场强度为：



$$\vec{E} = \frac{q}{4\pi\epsilon_0 R^2} (-\cos \omega t \vec{i} - \sin \omega t \vec{j})$$

位移电流密度为： $\vec{j}_d = \frac{d(\epsilon_0 \vec{E})}{dt}$

3. 麦克斯韦方程组



麦克斯韦（1831-1879）英国物理学家，1865 年麦克斯韦在总结前人工作的基础上，提出完整的电磁场理论，经典电磁理论的奠基人，气体动理论创始人之一。他提出了有旋场和位移电流的概念，并预言了以光速传播的电磁波的存在。在气体动理论方面，他还提出了气体分子按速率分布的统计规律。

他在电磁学领域的两个主要贡献是提出了“有旋电场”和“位移电流”两个假设，提出电磁理论方程组，并计算出电磁波的速度（即光速）。

$$c = \frac{1}{\sqrt{\epsilon_0 \mu_0}}$$

（真空中）

感应电场的法拉第定律: $\oint_L \vec{E} \cdot d\vec{l} = - \iint_S \frac{\partial \vec{B}}{\partial t} \cdot d\vec{S}$

全电流安培环路定理: $\oint_L \vec{H} \cdot d\vec{l} = i_c + i_d = \iint_S \left(\vec{j}_c + \frac{\partial \vec{D}}{\partial t} \right) \cdot d\vec{S}$

麦克斯韦电磁场
方程的积分形式

$$\oiint_S \vec{D} \cdot d\vec{S} = \sum_i q_{i0} = \iiint_V \rho dV$$

—— 电学高斯定理

$$\oint_L \vec{E} \cdot d\vec{l} = - \iint_S \frac{\partial \vec{B}}{\partial t} \cdot d\vec{S}$$

—— 法拉第电磁感应定律

$$\oiint_S \vec{B} \cdot d\vec{S} = 0$$

—— 磁学高斯定理

$$\oint_L \vec{H} \cdot d\vec{l} = \iint_S \left(\vec{j}_c + \frac{\partial \vec{D}}{\partial t} \right) \cdot d\vec{S}$$

—— 磁学安培环路定理



在“变化”的情况下，电场和磁场密切不可分割，两者互为因果，形成统一的客体——电磁场。（并预言电磁波的存在）。

1888年赫兹的实验证实了他的预言，麦克斯韦理论奠定了经典动力学的基础，为无线电技术和现代电子通讯技术发展开辟了广阔前景。

奥高公式：

$$\oiint_S \vec{A} \cdot d\vec{S} = \iiint_V \nabla \cdot \vec{A} dV$$

斯托克斯公式：

$$\oint_L \vec{A} \cdot d\vec{l} = \oiint_S \nabla \times \vec{A} \cdot d\vec{S}$$



$$\oiint_S \vec{D} \cdot d\vec{S} = \iiint_V \nabla \cdot \vec{D} dV = \iiint_V \rho dV \Rightarrow \nabla \cdot \vec{D} = \rho_e$$

$$\oint_L \vec{E} \cdot d\vec{l} = \iint_S \nabla \times \vec{E} \cdot d\vec{S} = - \iint_S \frac{\partial \vec{B}}{\partial t} \cdot d\vec{S} \Rightarrow \nabla \times \vec{E} = - \frac{\partial \vec{B}}{\partial t}$$

麦克斯韦电磁场
方程的微分形式

$$\nabla \cdot \vec{D} = \rho$$

—— 电学高斯定理

$$\nabla \times \vec{E} = - \frac{\partial \vec{B}}{\partial t}$$

—— 法拉第电磁感应定律

$$\nabla \cdot \vec{B} = 0$$

—— 磁学高斯定理

$$\nabla \times \vec{H} = \vec{j}_c + \frac{\partial \vec{D}}{\partial t}$$

—— 磁场安培环路定理

对各向同性介质还有如下三个补充关系：

$$\vec{D} = \epsilon \vec{E}, \vec{B} = \mu \vec{H}, \vec{j}_0 = \sigma \vec{E}$$

变化的磁场 → 感生电场；变化的电场 → 磁场；



4. 电磁波

$$\left\{ \begin{array}{l} \nabla \cdot \vec{D} = \rho \\ \nabla \times \vec{E} = -\frac{\partial \vec{B}}{\partial t} \\ \nabla \cdot \vec{B} = 0 \\ \nabla \times \vec{H} = \vec{j}_c + \frac{\partial \vec{D}}{\partial t} \end{array} \right.$$

$$\nabla \times \vec{E} = -\frac{\partial \vec{B}}{\partial t}$$

上等式两边同时作用 $(\nabla \times)$

等式左边

$$\nabla \times (\nabla \times \vec{E}) = \nabla (\nabla \cdot \vec{E}) - \nabla^2 \vec{E} = -\nabla^2 \vec{E}$$

在自由空间中: $\rho_e=0, I=0$

等式右边

$$-\nabla \times \frac{\partial \vec{B}}{\partial t} = -\frac{\partial}{\partial t} (\nabla \times \vec{B}) = -\frac{\partial}{\partial t} \left(\mu_0 \frac{\partial \vec{D}}{\partial t} \right) = -\epsilon_0 \mu_0 \frac{\partial^2 \vec{E}}{\partial t^2}$$

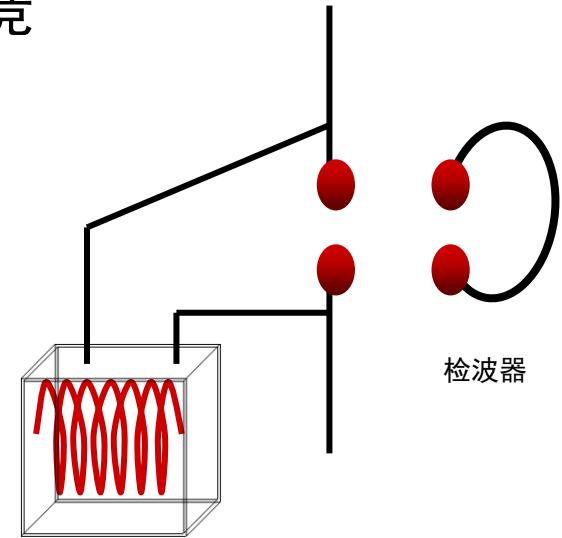
波动方程

$$\nabla^2 \vec{E} = \epsilon_0 \mu_0 \frac{\partial^2 \vec{E}}{\partial t^2}$$

$$v = \frac{1}{\sqrt{\mu_0 \epsilon_0}} = 3 \times 10^8 \text{ m/s}$$

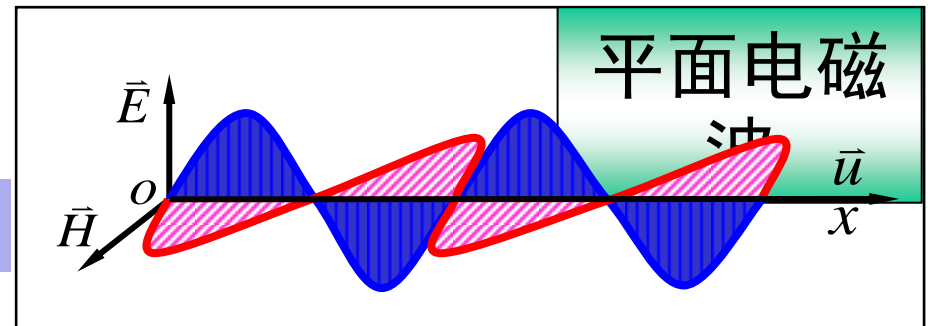
1878年德国物理学家亥姆霍兹给学生出了一个竞赛题：**用实验的方法验证麦克斯韦的电磁理论。**

1886年10月学生赫兹在做放电实验时，偶然发现其近旁的线圈也发出火花，敏锐意识到可能是电磁共振。



电磁波的基本性质

1) 电磁波是横波，电磁场同相



电磁波有偏振性,有反射、折射、干涉、衍射等现象



2) 电磁波的能量、能流密度（强度）和动量

电磁波的能量——辐射能 $\omega = \frac{1}{2}(\epsilon_0 E^2 + \frac{B^2}{\mu_0})$

电磁波的能流密度（坡印廷）矢量——单位
时间流过垂直于传播方向单位面积的能量；

$$\vec{S} = \frac{1}{\mu_0} (\vec{E} \times \vec{B}) = \vec{E} \times \vec{H}$$

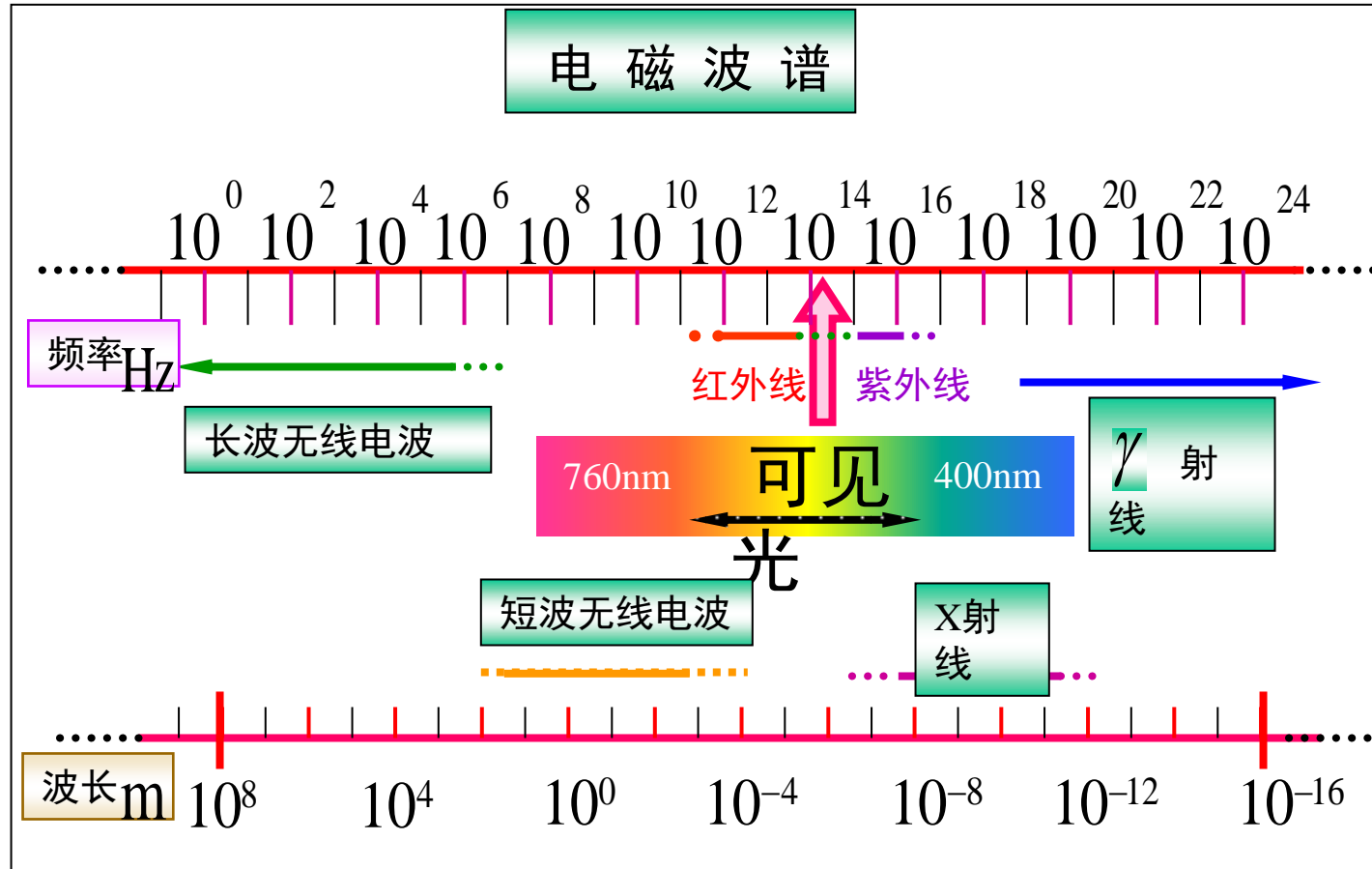
动量密度

$$p = \frac{w}{c} = \frac{\epsilon_0 E^2}{c}$$

辐射压力(光压)——射入到物体表面上对表面的压力

1920年列别捷夫光压实验证明电磁场与实物间有动量传递，并满足守恒定律。

3) 电磁波谱



无线电波 $3 \times 10^4 \text{ m} \sim 0.1 \text{ cm}$

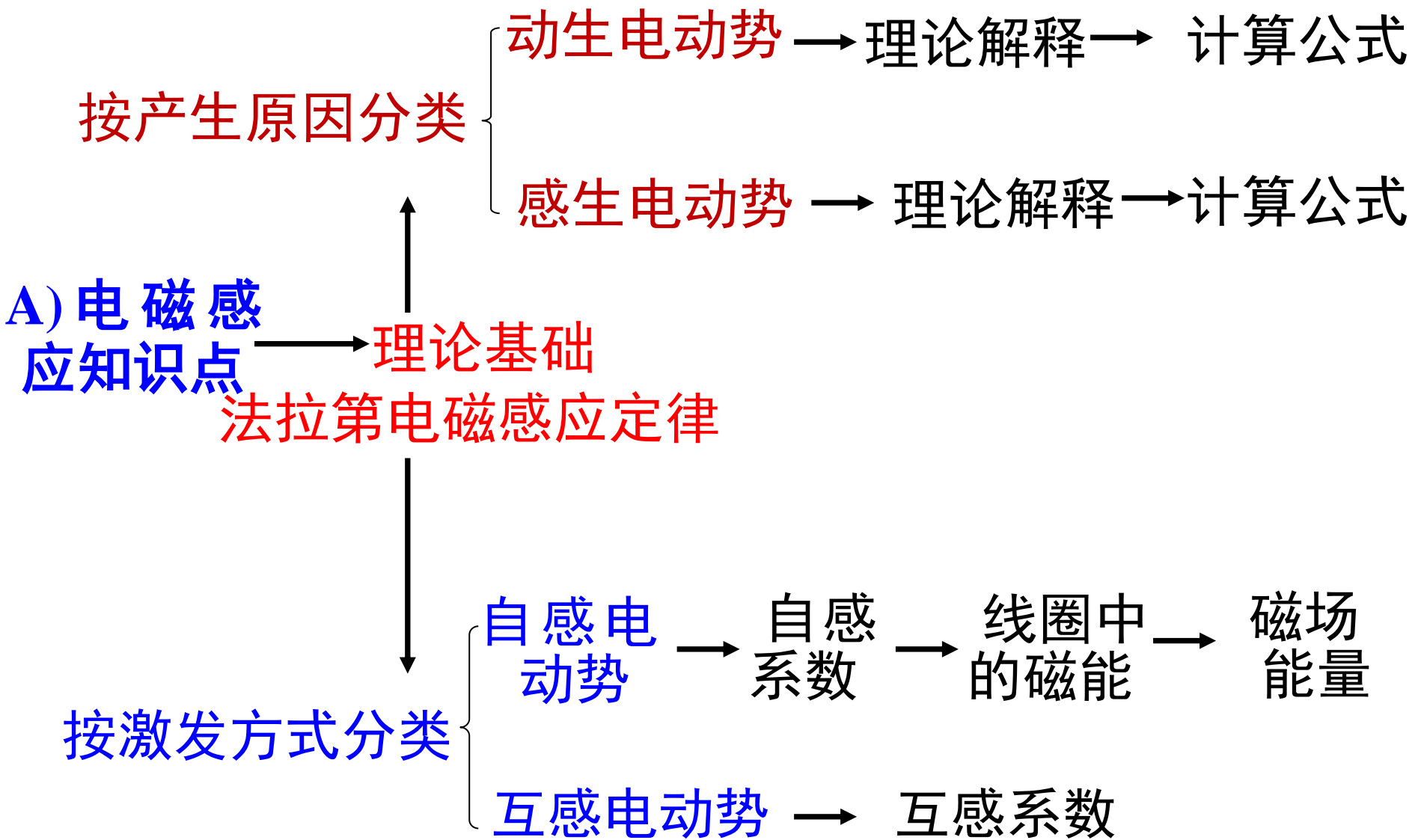
红外线 $6 \times 10^5 \text{ nm} \sim 760 \text{ nm}$

可见光 $760 \text{ nm} \sim 400 \text{ nm}$

紫外光 $400 \text{ nm} \sim 5 \text{ nm}$

X射线 $5 \text{ nm} \sim 0.04 \text{ nm}$

γ 射线 $< 0.04 \text{ nm}$





按产生原因分类

动生电动势 $\rightarrow \mathbf{f} = q\mathbf{v} \times \mathbf{B} \rightarrow \varepsilon_i = \oint_L (\mathbf{v} \times \mathbf{B}) \cdot d\mathbf{l}$

$$\mathbf{E}_k = \mathbf{v} \times \mathbf{B}$$

感生电动势 $\rightarrow \mathbf{f} = q\mathbf{E}_i \rightarrow \varepsilon_i = \oint_L \mathbf{E}_i \cdot d\mathbf{l} = -\int \frac{\partial \mathbf{B}}{\partial t} \cdot d\mathbf{S}$

$$\varepsilon_i = -\frac{d\Phi}{dt}$$

B) 电磁感应
理论公式

按激发方式分类

自感电动势 $\varepsilon_L = -L \frac{dI}{dt} \rightarrow L = \frac{\psi}{I} = \frac{N\Phi}{I}$

$$W = \frac{1}{2} LI^2$$

$$W_M = \iiint_V \frac{1}{2} \frac{B^2}{\mu} dV$$

互感电动势 $\varepsilon_{12} = -M \frac{dI_1}{dt} \rightarrow M = \frac{N_1 \Phi_{21}}{I_2} = \frac{N_2 \Phi_{12}}{I_1}$



C 电磁场理论、电磁波

静电场的基本方程

实验验证赫兹实验

理论基础：麦克斯韦假设

电磁振荡

感生电场（涡旋电场）

电磁辐射，电磁波

稳恒电流磁场
的基本方程

位移电流

电磁场的基本方程：
麦克斯韦方程组的积分形式

电磁波特性



D) 电磁场规律的一般方程

静电场

$$\oint_S \mathbf{D} \cdot d\mathbf{S} = \int_V \rho dV$$

$$\oint_L \mathbf{E} \cdot d\mathbf{l} = 0$$

稳恒电流磁场

$$\oint_S \mathbf{B} \cdot d\mathbf{S} = 0$$

$$\oint_S \mathbf{H} \cdot d\mathbf{l} = \int_S \mathbf{j} \cdot d\mathbf{S}$$

感生电场 (涡旋电场)

$$\oint_L \mathbf{E}_i \cdot d\mathbf{l} = - \int \frac{\partial \mathbf{B}}{\partial t} \cdot d\mathbf{S}$$

$$\oint_S \mathbf{E}_i \cdot d\mathbf{S} = 0$$

位移电流

$$I_d = \frac{d\Phi_D}{dt}; j_d = \frac{d\mathbf{D}}{dt}$$

实验验证: 赫兹实验



横波

同相位同周期

$$\mathbf{E} \perp \mathbf{H}$$

$$\sqrt{\epsilon} \mathbf{E} = \sqrt{\mu} \mathbf{H}$$

$$v = \frac{1}{\sqrt{\epsilon \mu}}$$

麦克斯韦方程组的积分形式

$$\oint_S \mathbf{D} \cdot d\mathbf{S} = \int_V \rho dV$$

$$\oint_S \mathbf{B} \cdot d\mathbf{S} = 0$$

$$\oint_S \mathbf{E}_i \cdot d\mathbf{l} = - \int \frac{\partial \mathbf{B}}{\partial t} \cdot d\mathbf{S}$$

$$\oint_S \mathbf{H} \cdot d\mathbf{l} = \int_S (\mathbf{j} + \frac{\partial \mathbf{D}}{\partial t}) \cdot d\mathbf{S}$$